

GÜNEY EMAR

TIBBİ GÖRÜNTÜLEME MERKEZİ



64 KESİT BT İLE KORONER VE
TÜM VÜCUT ANJİYOGRAFİ

GÜNEY EMAR

TIBBİ GÖRÜNTÜLEME MERKEZİ

İÇİNDEKİLER

İÇİNDEKİLER

1. KORONER BT ANJİYOĞRAFI _____ 2-20
2. TORAKAL BT ANJİYOĞRAFI _____ 21-24
3. ABDOMİNAL BT ANJİYOĞRAFI _____ 25-30
4. PERİFERİK BT ANJİYOĞRAFI _____ 31-34
5. NÖROLOJİK BT ANJİYOĞRAFI _____ 35-41

KORONER BT ANJİYOGRAFI



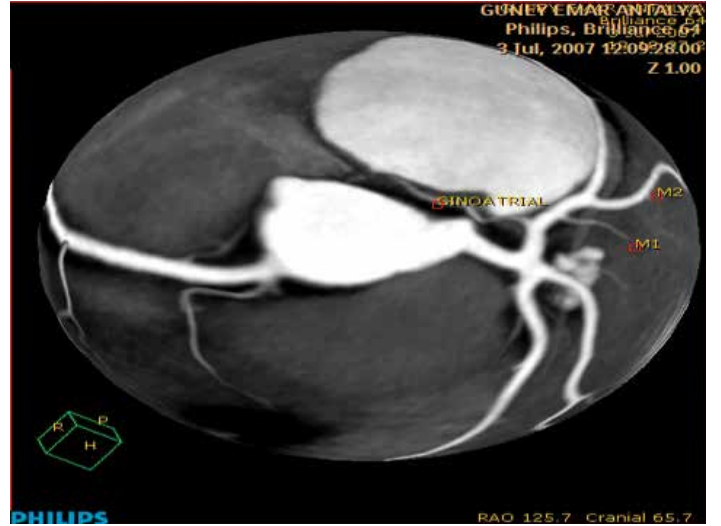
Kalp ve damarların üç boyutlu görüntülenmesi. Kalp kası ve koroner damarlar kontrast farkına göre görüntülenebilmektedir.



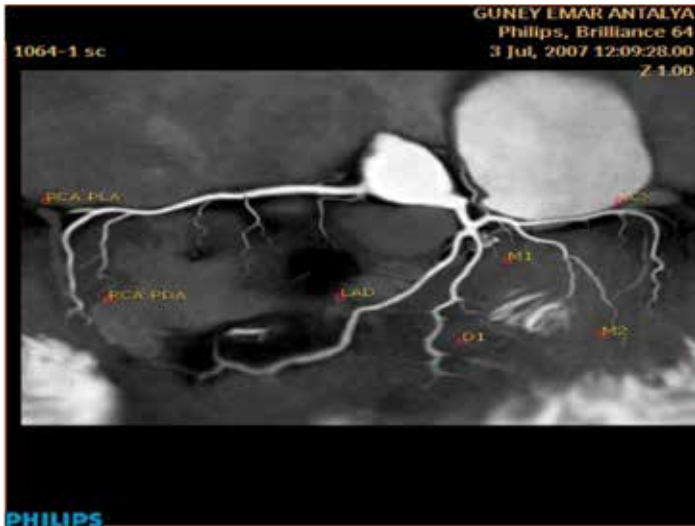
Kalp kası ve çevre dokular silinerek kalp damarlarının üç boyutlu görüntülenmesi.



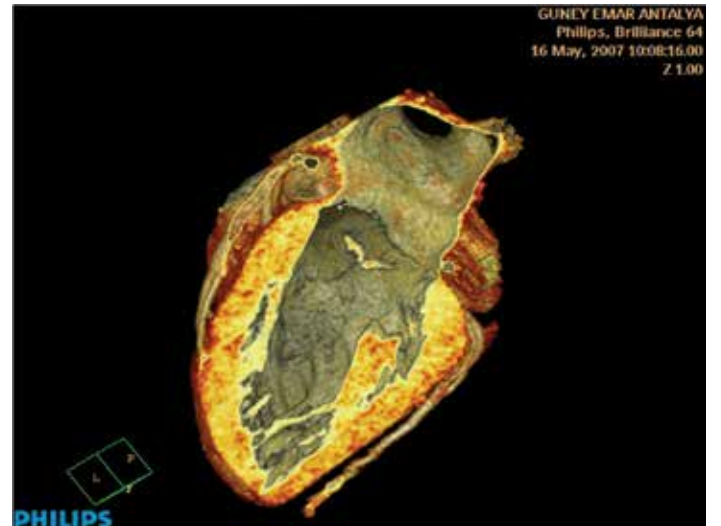
Sferik görüntüde kalp damarlarının görüntülenmesi.



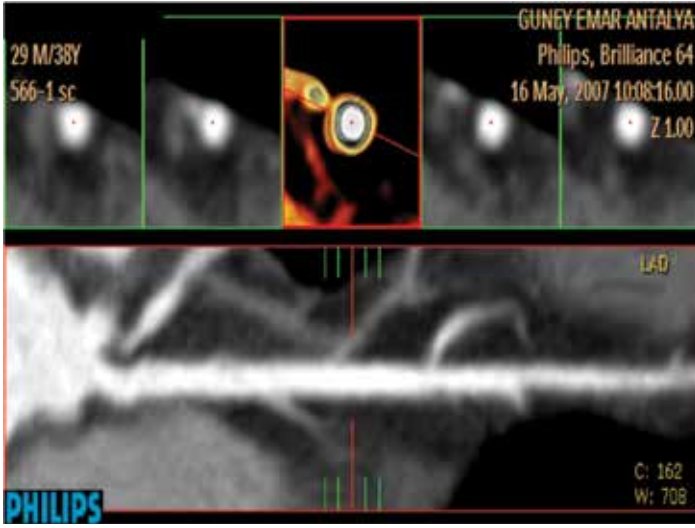
Kalp damarlarının globe görüntüsü.



Kalp damarlarının düzlem üzerinde haritalanması.



Kalbin fonksiyonel analizinde aorta ve myokardın kesitsel görüntüsü.



Kalp damarının uzun ve kısa eksen görüntüsü ile birlikte sanal intravasküler ultrason (İVUS) görüntüsü.



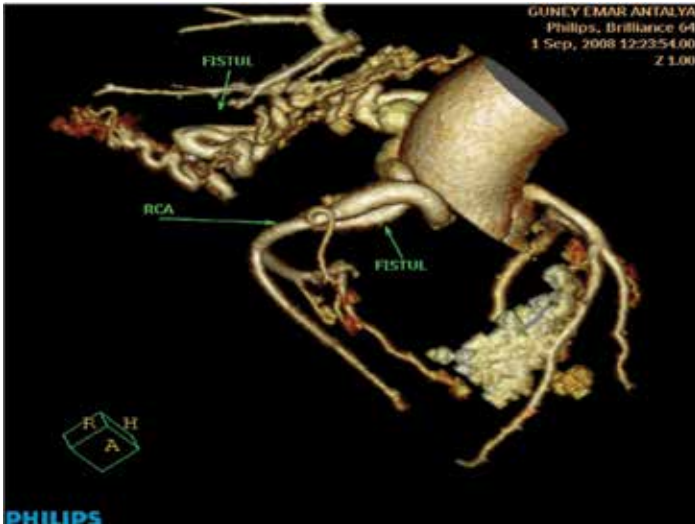
Replase aort kapağı.



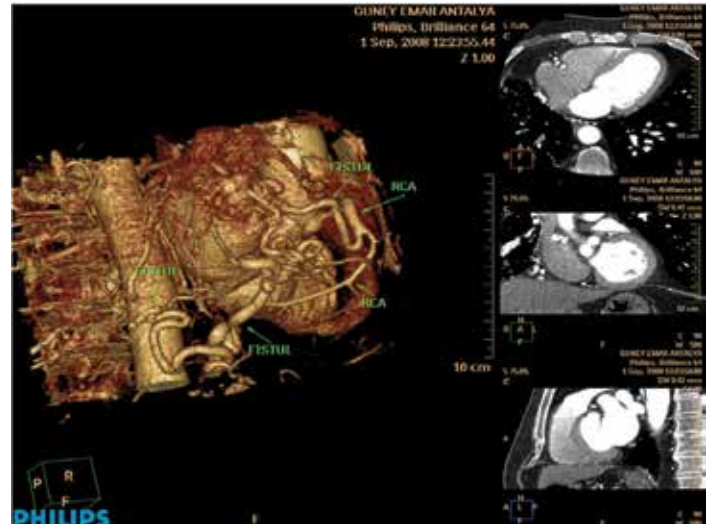
Replase aort kapağı.



RCA proksimalinden köken alan, pulmoner trunkus ile ilişkili, ektatik, tübüler vasküler yapılar (arterio-arteriel fistül).

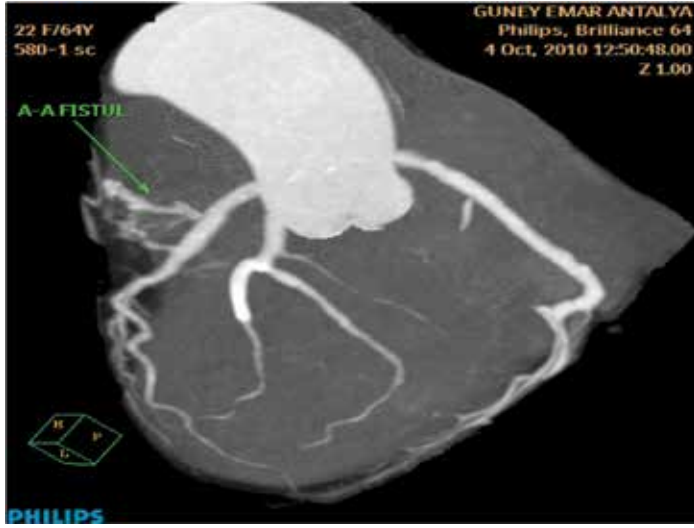


Aynı hastanın dallanmış ağaç görüntüsü.

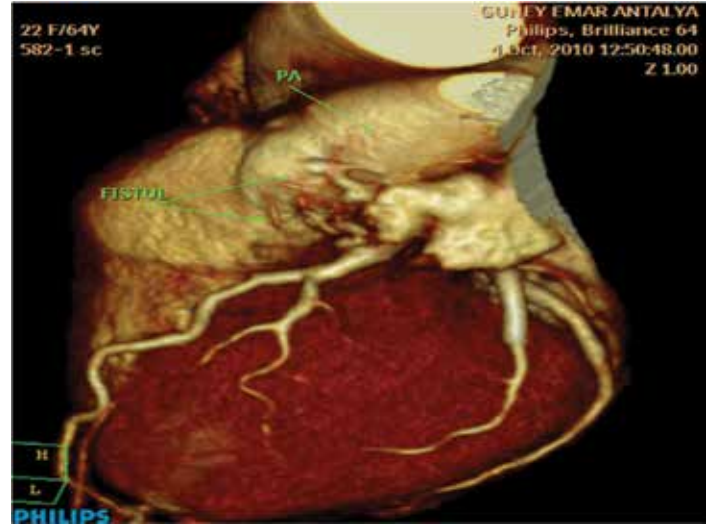


VRT görüntüde ektatik tübüler vasküler yapıların pulmoner arter ile ilişkisini gösteren arterio-arteriel fistül olgusu.

KORONER BT ANJİYOGRAFİ



LAD'den köken alan, main pulmoner arter perikardial parçası ile ilişkili arterioarteriel fistül.



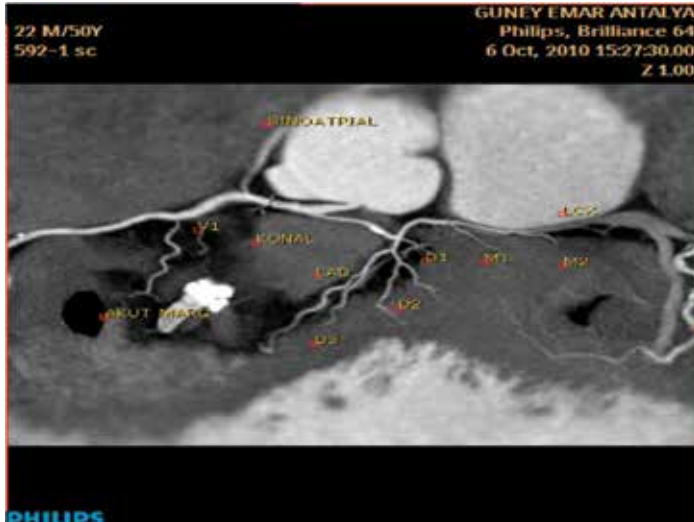
Aynı hastanın VRT görüntüsü ve fistül traktının pulmoner arter ile ilişkisi.



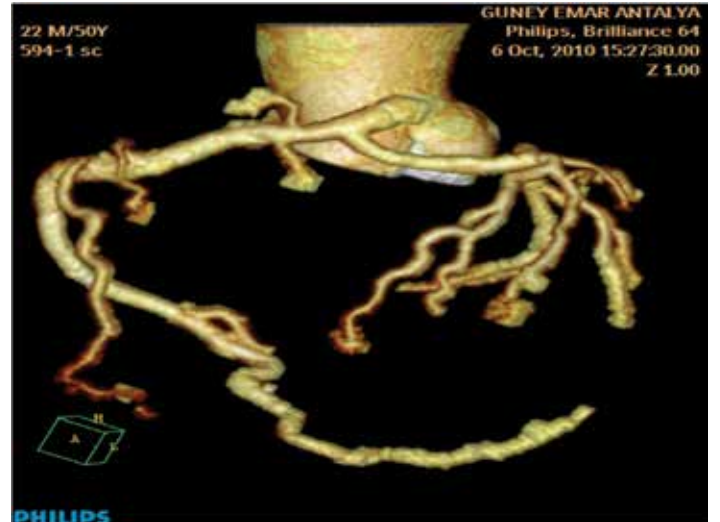
Aynı hastanın MİP görüntülemesi.



Globe görüntülemede RCA sol koroner sinüsten tek ostiumdan köken almakta, LMA ise RCA'dan çıkmaktadır.

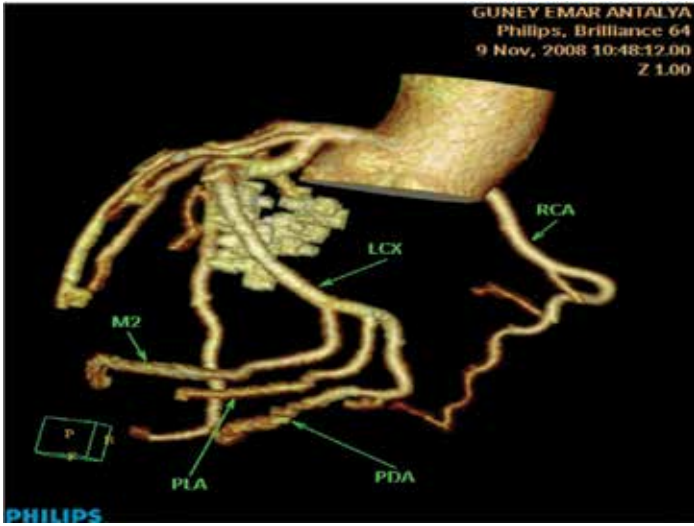


Aynı hastada koroner arterlerin düzlem üstünde görüntülenmesi



Dallanmış ağaç görüntüsünde RCA'nın sol koroner sinüsten köken aldığı, LMA'nın da RCA'dan orijin aldığı görülmektedir.

KORONER BT ANJİYOGRAFİ



PLA ve PDA LCX'den köken almaktadır.



Aynı hastanın globe görüntülerinde PLA ve PDA orijini net olarak izlenebilmektedir.



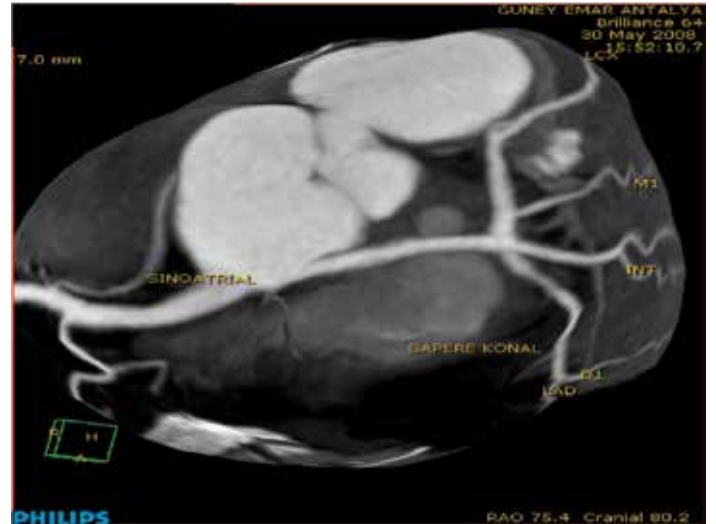
Malign koroner anomalilerden biri; LCX sağ koroner sinüsten çıkmakta, aorta ile pulmoner arter arasından geçerek atrioventriküler seyir göstermektedir.



Globe görüntülemelerde LCX'in sağ koroner sinüsten çıkıp interarteriel seyir gösterdiği izlenmektedir.



Globe görüntüde, benign koroner anomalilerden, LAD ve LCX sol koroner sinüsten ayrı ayrı köken almaktadır.



LMA sağ koroner sinüsten ve ayrı ostiumdan çıkmaktadır.

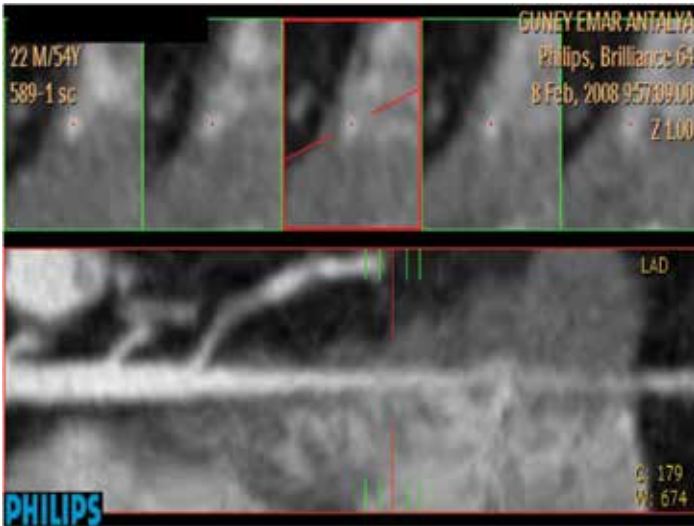
KORONER BT ANJİYOGRAFİ



Globe görüntü; LCX sağ koroner sinüsten çıkarak aort dış duvarı boyunca interarteriel seyir göstermektedir.



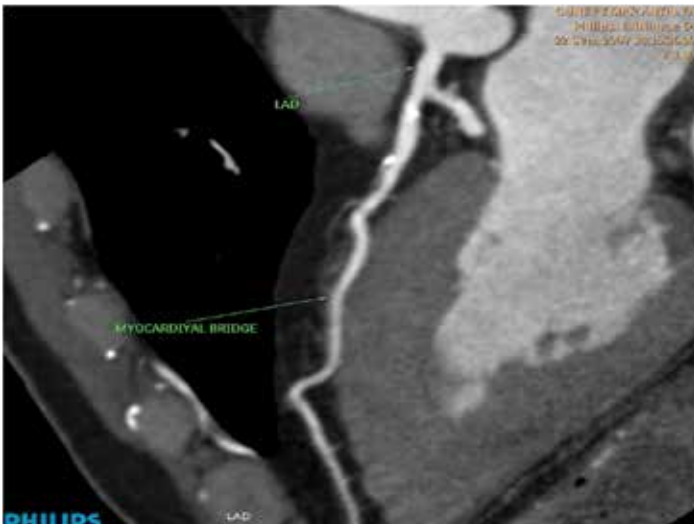
Aynı hastanın globe görüntülenmesi.



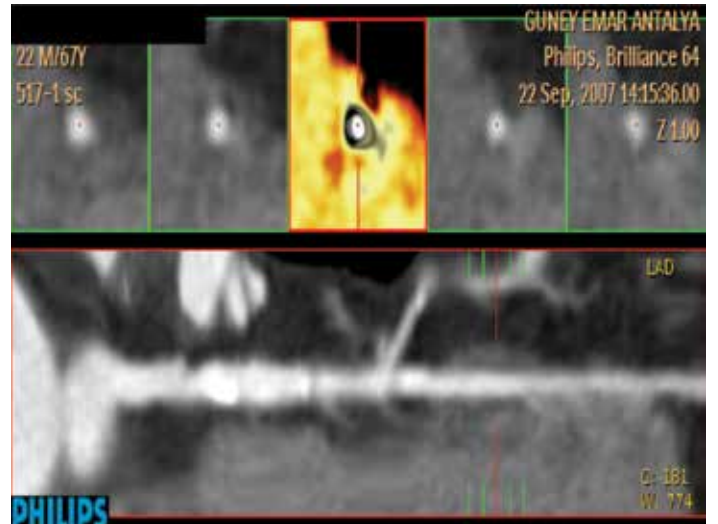
Uzun ve kısa eksen görüntüsünde LAD orta segmenti derin myokardial bridge'ye bağlı tünel içerisine girip çıkmaktadır (komplet).



Aynı hastanın MİP görüntülenmesi.

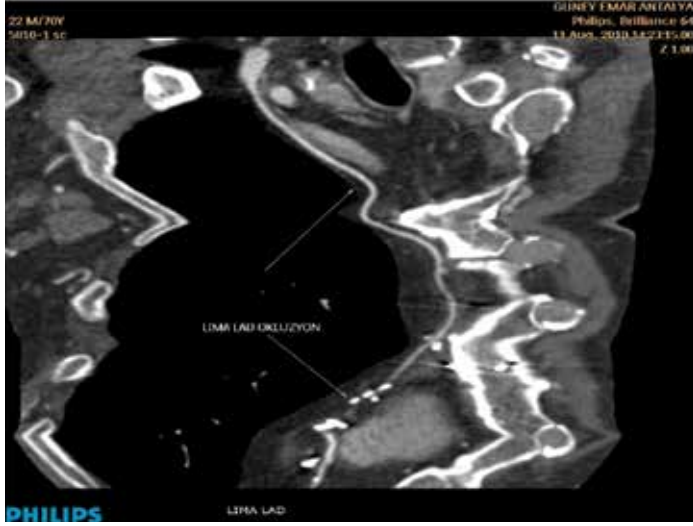


MİP görüntüleme LAD orta segmentinde derin myokardial bridge izlenmektedir.

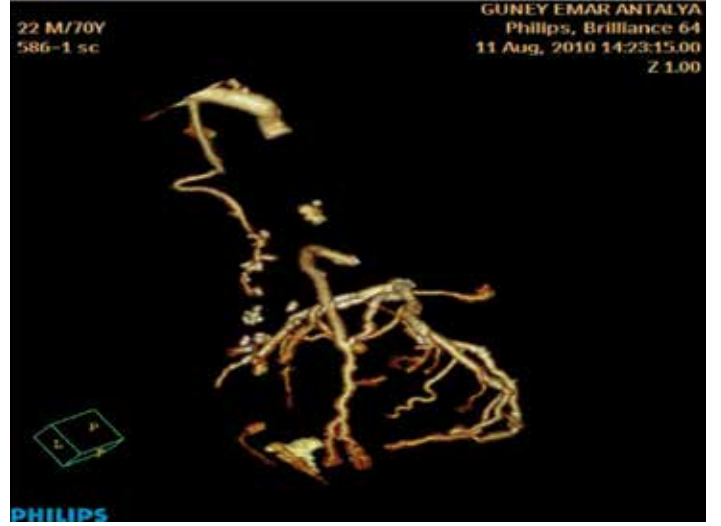


Aynı hastanın uzun, kısa eksen ve İVUS görüntüsünde LAD'nin tünel içerisinde seyir gösterdiği izlenmektedir (komplet myokardial bridge).

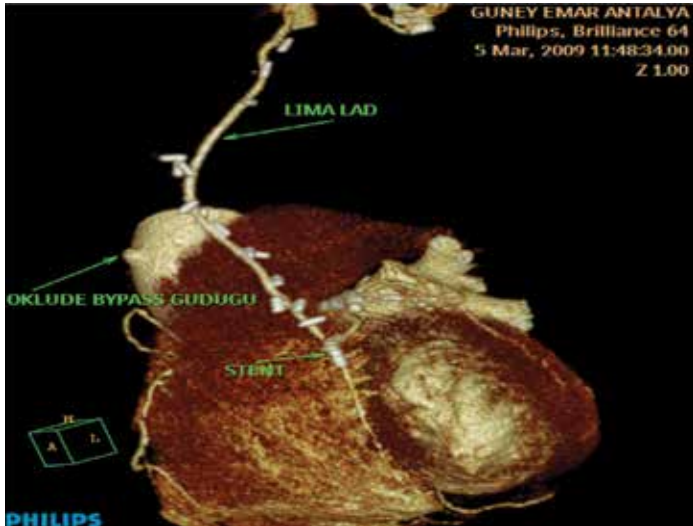
KORONER BT ANJİYOGRAFİ



LİMA-LAD arteriel greft, greft distalinde anastomoz hattını atake eden uzun segment oklüzyon.



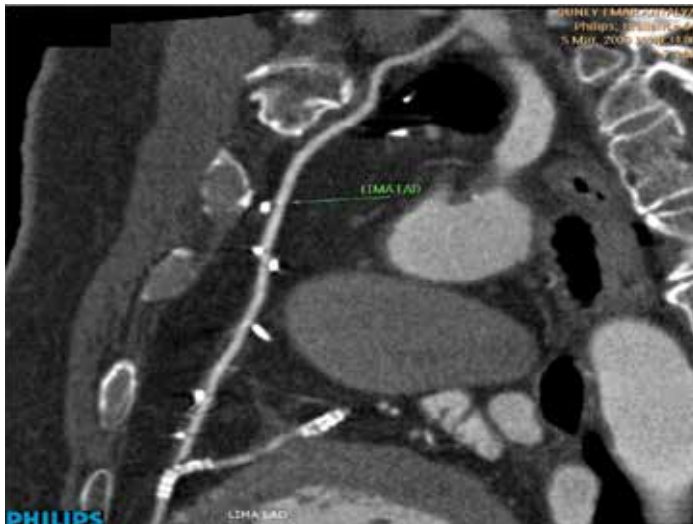
Aynı hastanın dallanmış ağaç görüntüsü.



LİMA-LAD arteriel greft distal anastomoz hattı düzeyinde lümeni patent stent ve aortada oklüde bypass güdüğü.



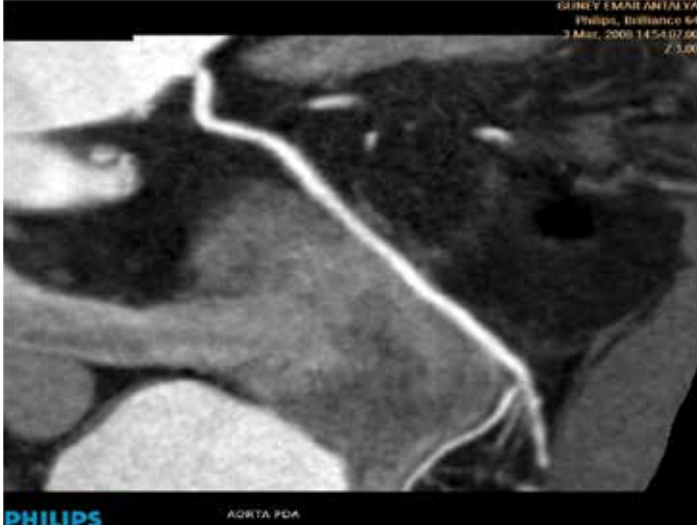
VRT görüntülemeye aortada oklüde bypass greftin güdüğü izlenmektedir.



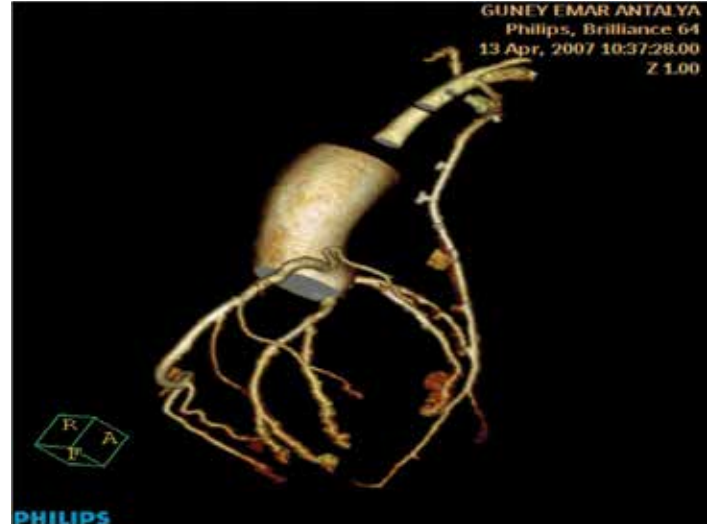
LİMA-LAD arteriel greft ve distal anastomoz hattı.



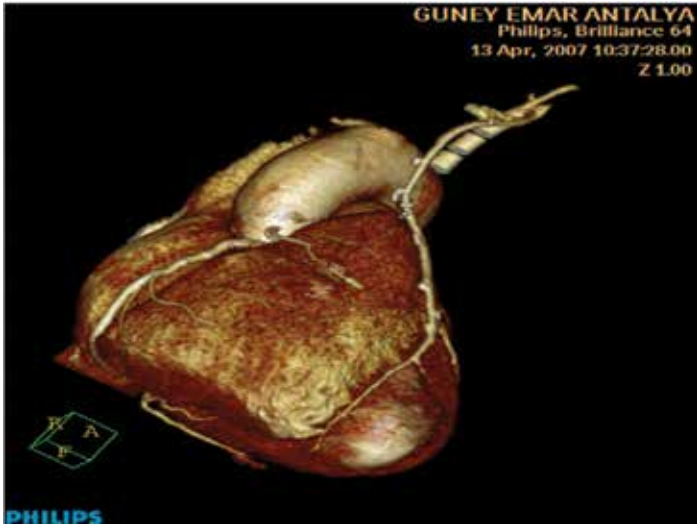
Bypass greftlerin VRT görüntülenmesi.



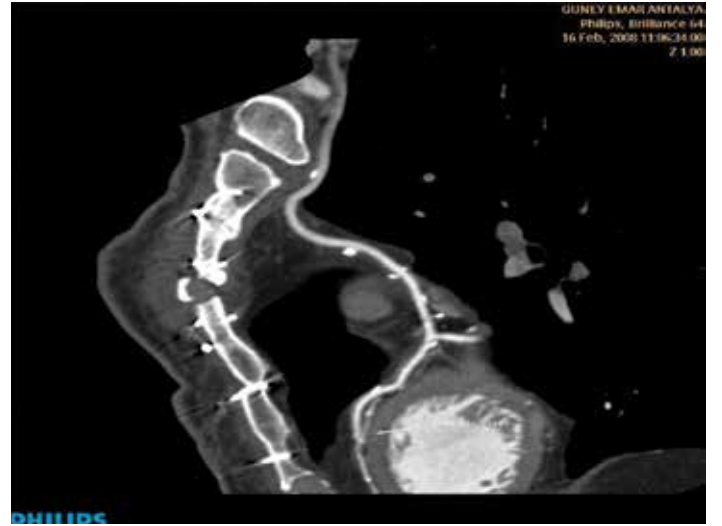
Aorto-PDA bypass greft (greft içi plak izlenmiyor) ve distal anastomoz hattı.



LİMA-LAD proksimal ve distal anastomoz hattı ve greft seyri dalanmış ağaç görüntüsü.



LİMA-LAD'nin VRT görüntülemesi.



LİMA-LAD distal anastomoz hattının görüntülenmesi.

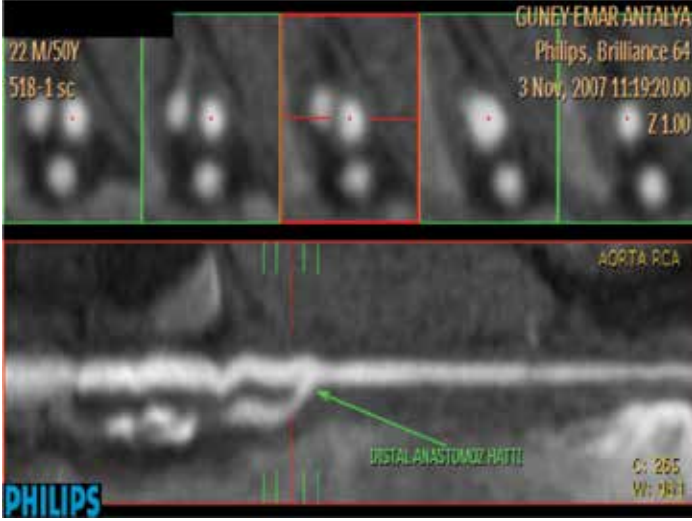


Aorto-RCA greft distal anastomoz hattı.

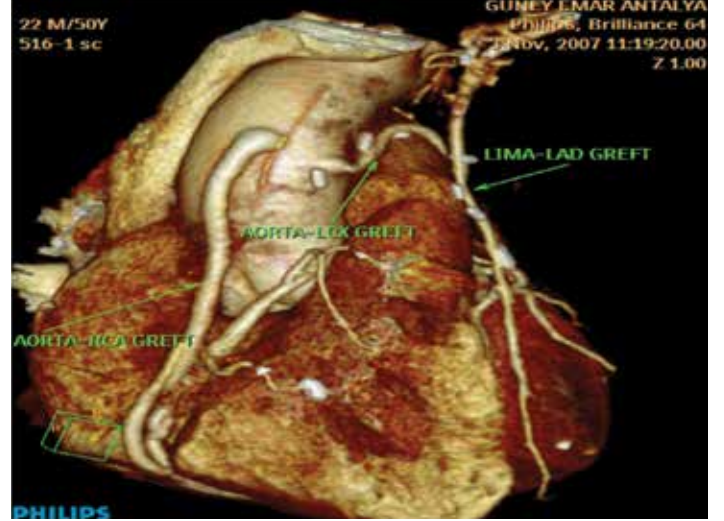


Aorto-LCX greft proksimal, distal anastomoz hattı ve greft seyri izlenmektedir.

KORONER BT ANJİYOGRAFI



Anastomoz hattının uzun ve kısa eksen görüntülemesi.



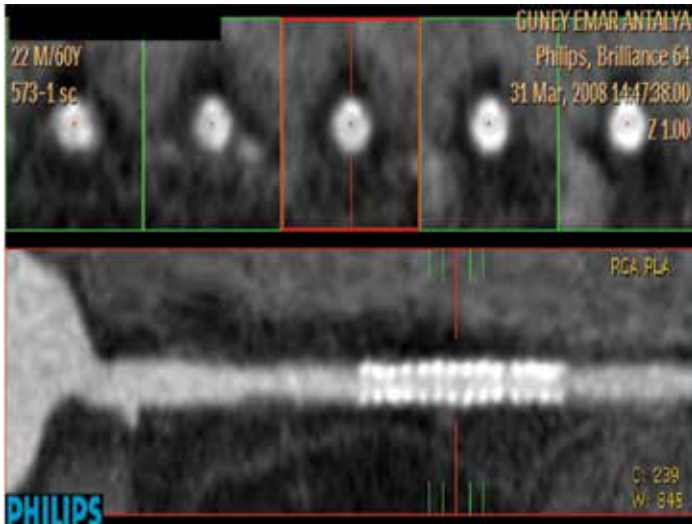
Bypass greftlerin VRT görüntülemesi (3 damar bypass).



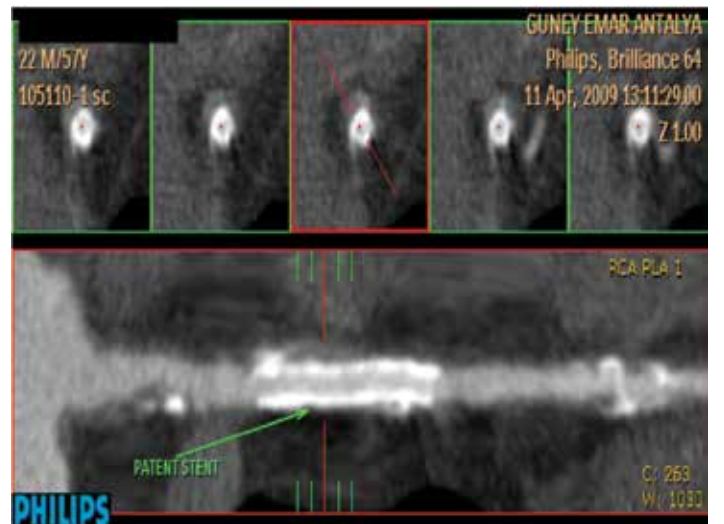
LAD proksimalinde lümeni patent stent.



RCA orta segmentinde lümeni patent stent.



Patent stentin uzun eksen görüntülenmesi.



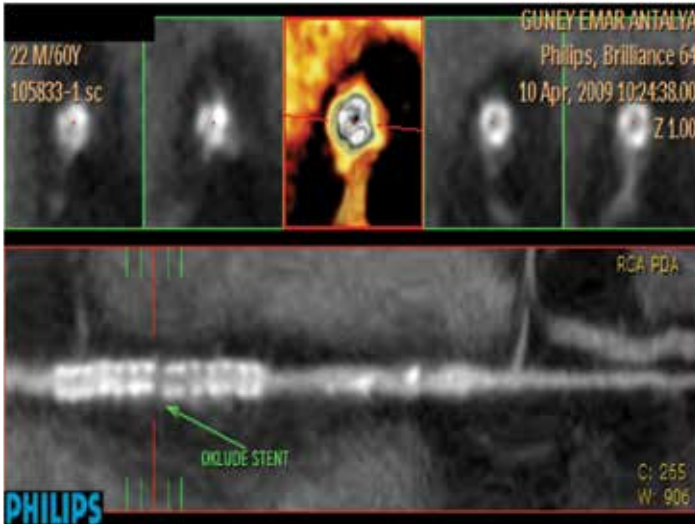
RCA proksimalinde lümeni patent stent.



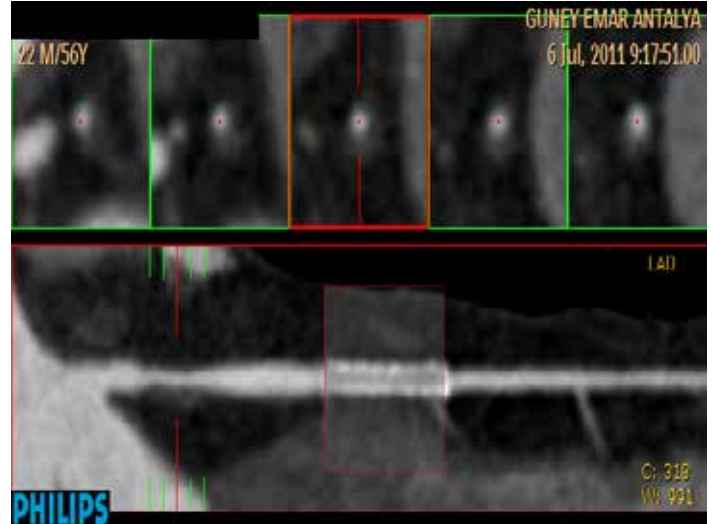
RCA proksimalinde eksantrik yumuşak plağa bağlı kritik stenoz, hemen distalinde lümeni patent stent, RCA distalinde ise konsantrik mikst plağa bağlı kısa segment kritik stenoz.



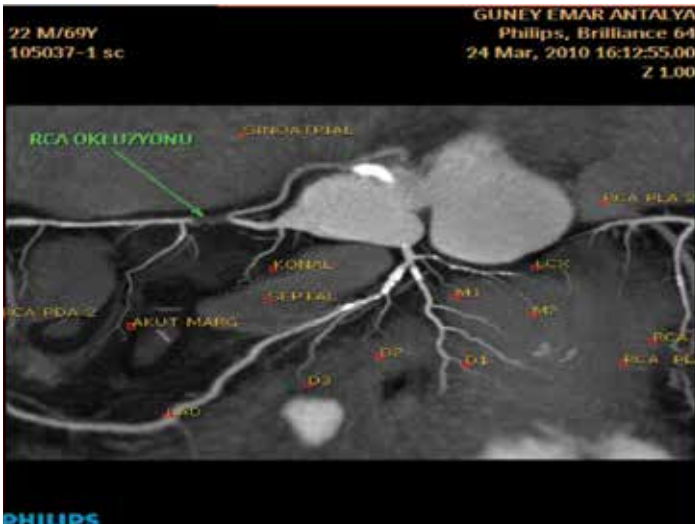
RCA'da stent ve 1/3 orta kesiminde oklüzyon.



Aynı hastanın uzun eksen ve sanal intravasküler ultrason görüntülenmesi.



Lümeni patent. stent. 1 yıl sonra kontrol BT anjiyografide LAD proksimalinde eksantrik ve pozitif remodelling etkili yumuşak plağa bağlı yaklaşık %75 civarında stenoz.

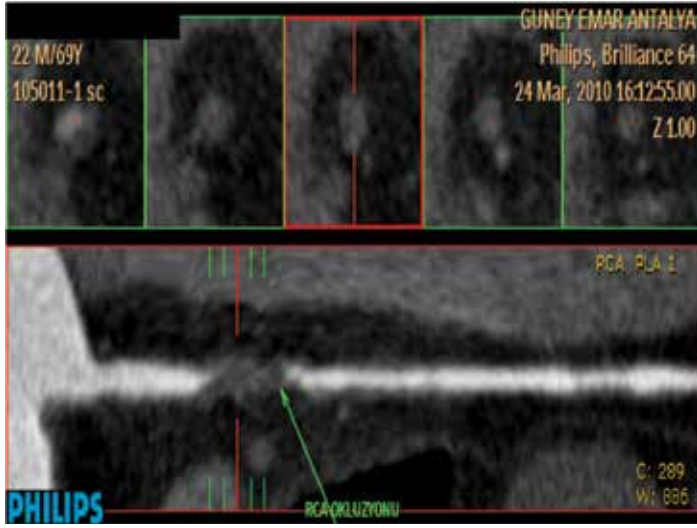


Koroner arter haritalamasında, RCA proksimal segmentinde yumuşak plağa bağlı oklüzyon. LAD proksimal segmentinde ve D1 dalı proksimalinde patent stent izlenmektedir.

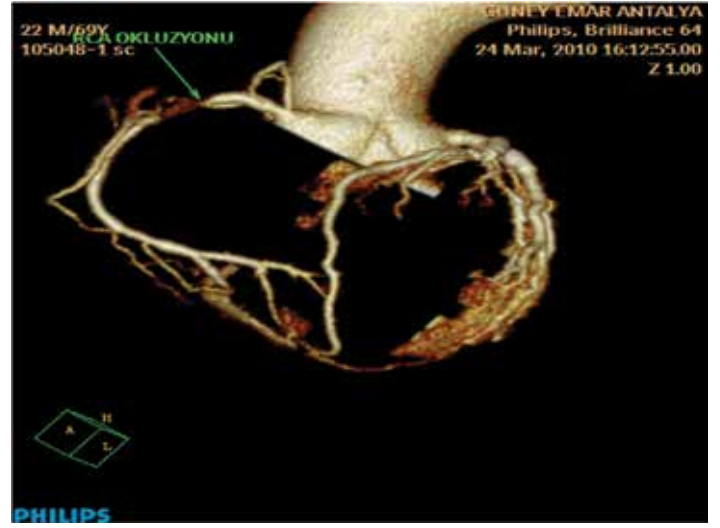


RCA proksimalinde konsantrik yumuşak plağa bağlı oklüzyon. RCA distal segmentinde, PDA ve PLA'da kontrast skorlamasında retrograt akım izlenmektedir.

KORONER BT ANJİYOGRAFİ



RCA proksimalinde konsantrik yumuşak plağa bağlı kısa segment oklüzyon.



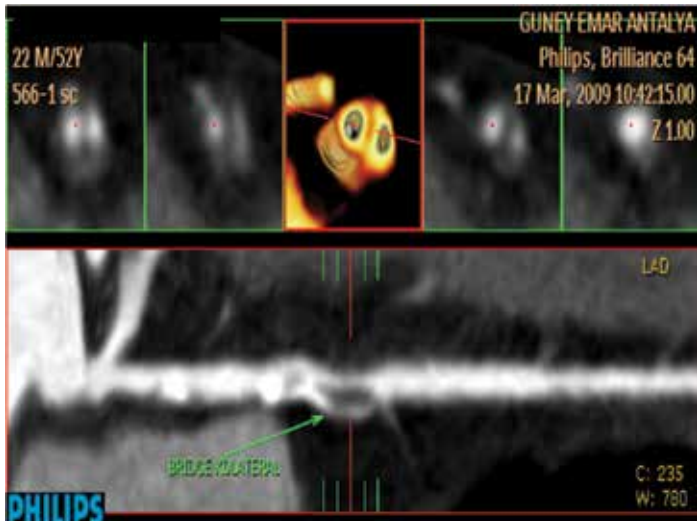
Dallanmış ağaç görüntülemeye RCA proksimalinde kısa segment oklüzyon.



LAD proksimalinde eksantrik yumuşak plağa bağlı kritik stenoz ve bridge kollateral gelişimi.



Bridge kollateralin üç boyutlu görüntüsü.



Uzun eksen ve sanal intravasküler ultrasonografide (İVUS) bridge kollaterale ait çift lümen görünümü.



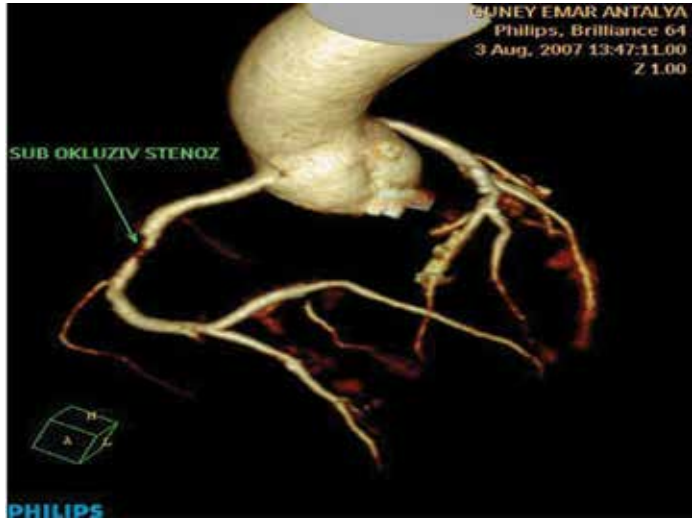
Sinotübüler junction ve valvuler düzeyde aortik greft ve replase aort kapağına ait görünüm. Sağ koroner arter osteal düzeyde greft kompresyonuna ait kısa segment hafif derecede stenoz.



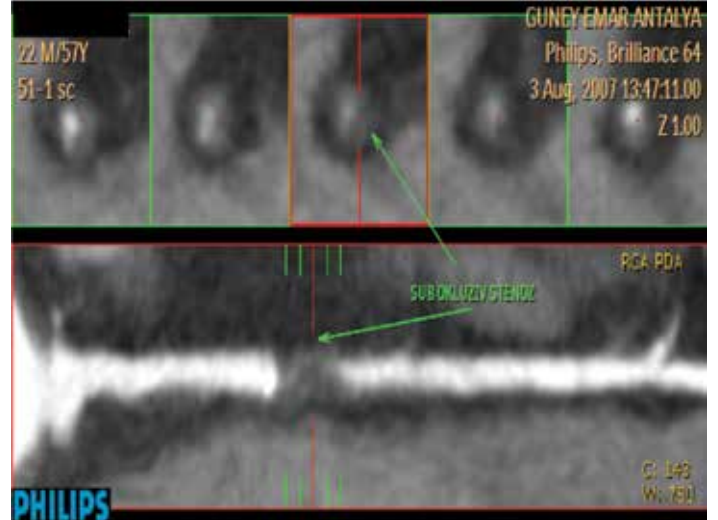
Üç boyutlu görüntüleme RCA'da subokluziv stenoz.



RCA proksimalinde konsantrik yumuşak plağa bağlı subokluziv stenoz, distalde eksantrik, pozitif remodeling etkili yumuşak plağa bağlı orta derecede stenoz.



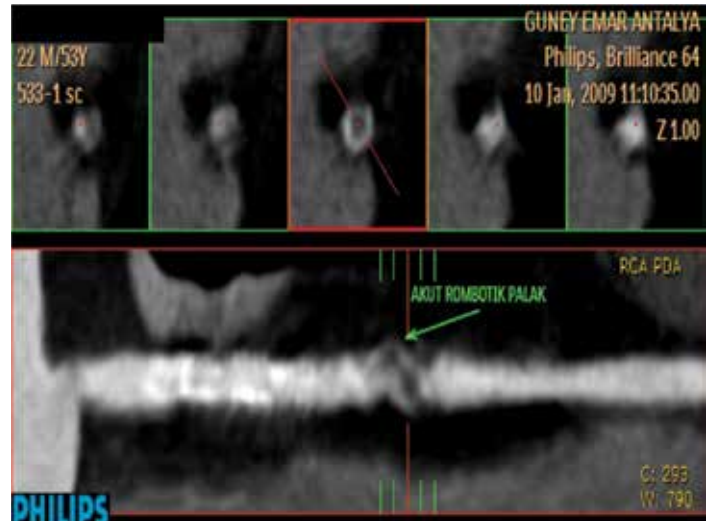
Dallanmış ağaç görüntüsünde RCA orta segmentinde subokluziv stenoz.



Uzun eksen görüntüleme yumuşak plağa bağlı subokluziv stenoz.



RCA proksimalinde akut trombotik ve mikst plağa bağlı ileri derecede stenoz.



Uzun eksen görüntüsünde RCA orta segmentte lümeni kısmen oblitere eden akut trombotik plak.

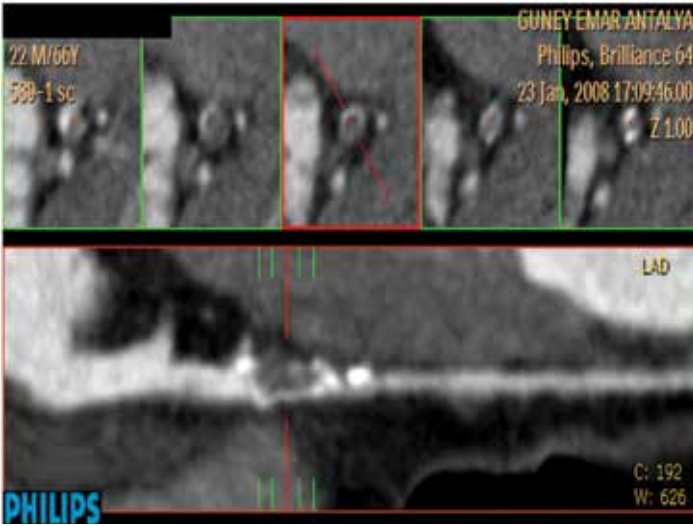
KORONER BT ANJİYOGRAFI



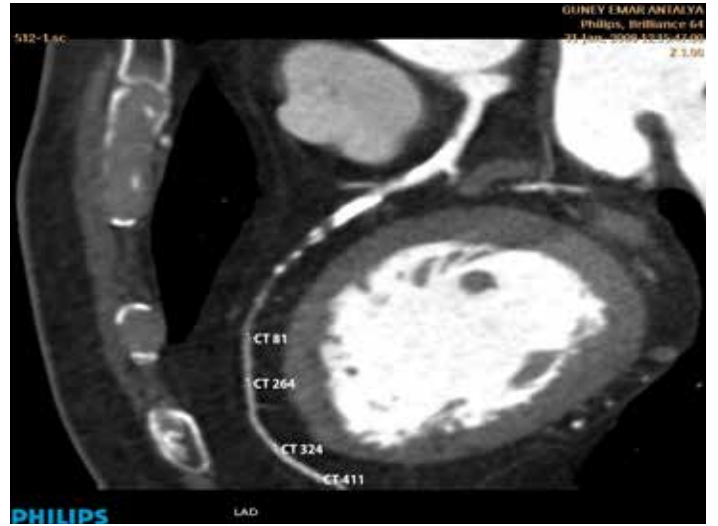
Aynı hastanın MİP görüntülemesi.



LAD proksimalinde mikst plağa bağlı suboklüziv stenoz.



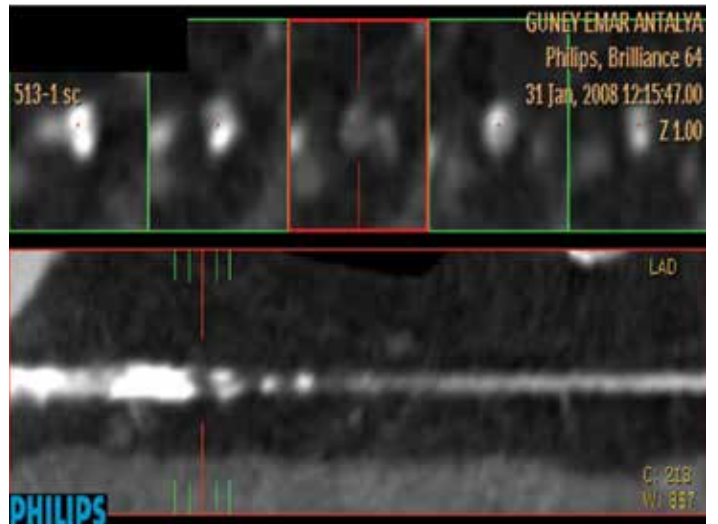
Uzun eksen görüntülemeye mikst plağa bağlı suboklüziv stenoz.



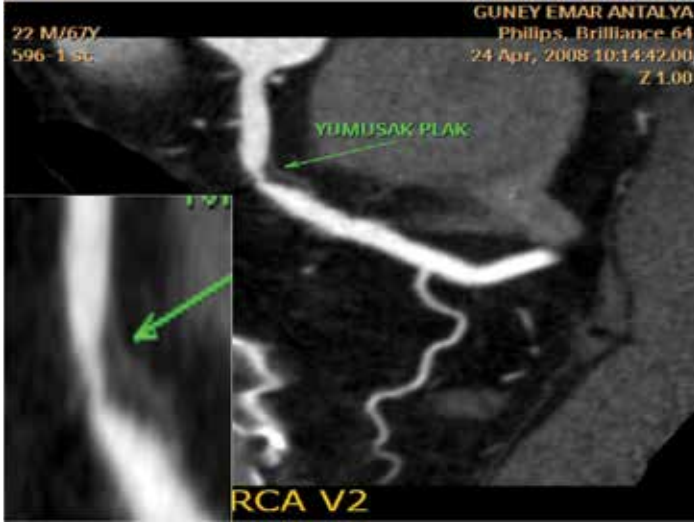
MİP görüntülemeye LAD'de uzun segment oklüzyon, kontrast skorlamasında distalde retrograt akım.



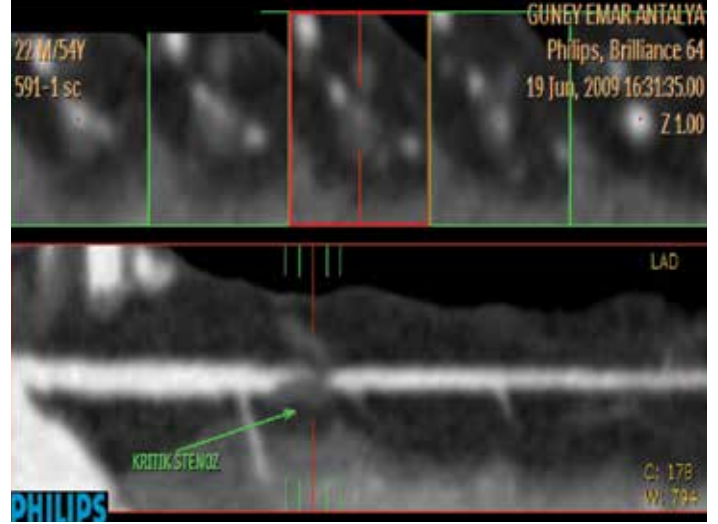
Dallanmış ağaç görüntülemeye LAD'de oklüzyon.



Aynı hastanın uzun eksen görüntüsünde mikst plaklara bağlı oklüzyon izlenmektedir.



RCA proksimalinde eksantrik, pozitif remodeling etkili yumuşak plağa bağlı, kısa segment, ileri derecede stenoz.



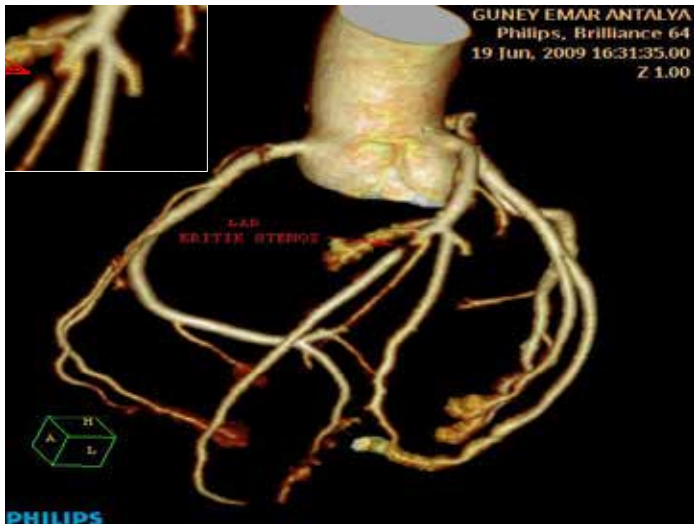
LAD orta segmentinde konsantrik yumuşak plağa bağlı kritik stenoz.



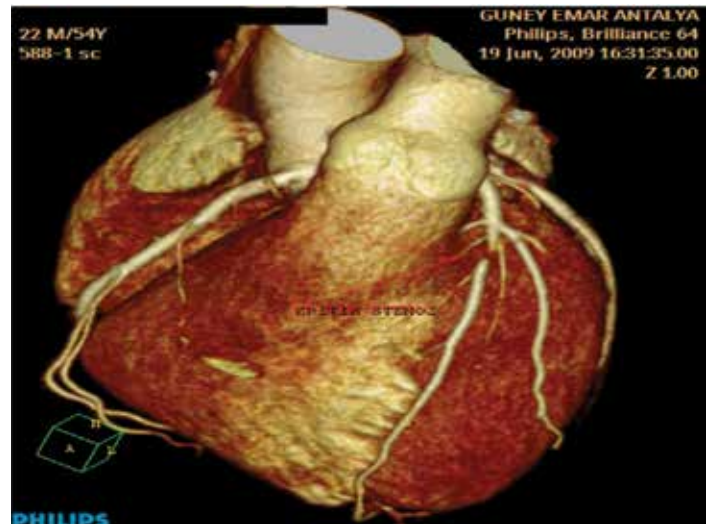
LAD'de tüm trasesi boyunca oklüzyon, distalde filiform akım.



LAD septal çıkımı düzeyinde yumuşak plağa bağlı kritik stenoz.

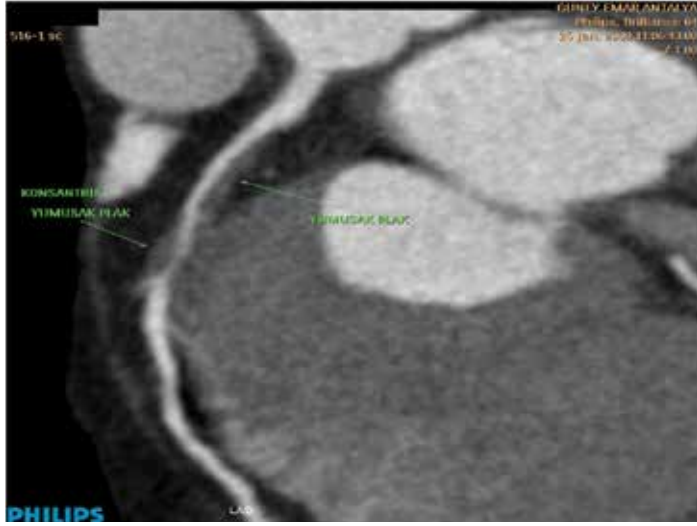


Aynı hastanın dallanmış ağaç görüntülemesinde kritik stenoz.



Üç boyutlu incelemede kritik stenozun görüntülenmesi.

KORONER BT ANJİYOGRAFİ



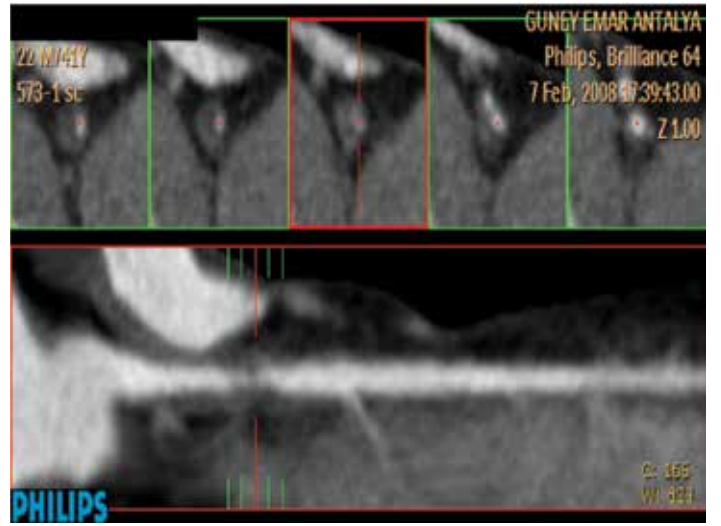
LAD proksimalinde eksantrik, distalde pozitif remodeling etkisi gösteren yumuşak plağa bağlı kritik stenoz.



Kritik stenozun üç boyutlu görüntülenmesi.



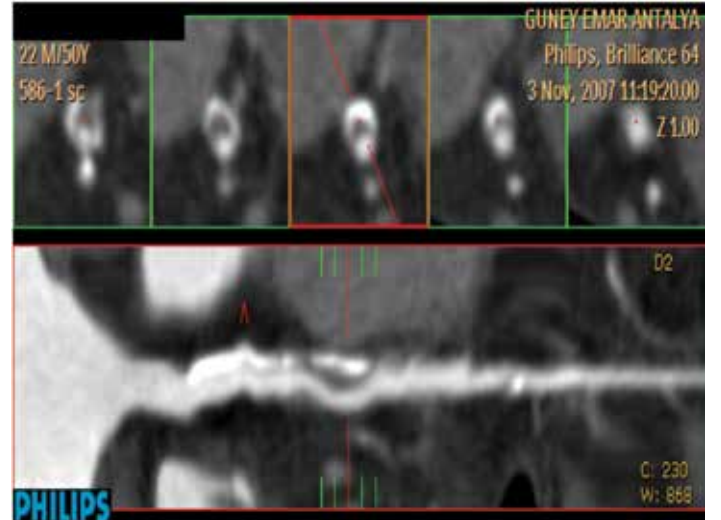
LAD proksimalinde eksantrik, santralde akut-trombotik komponenti bulunan yumuşak plağa bağlı kritik stenoz.



Aynı hastanın uzun eksen görüntülenmesi.

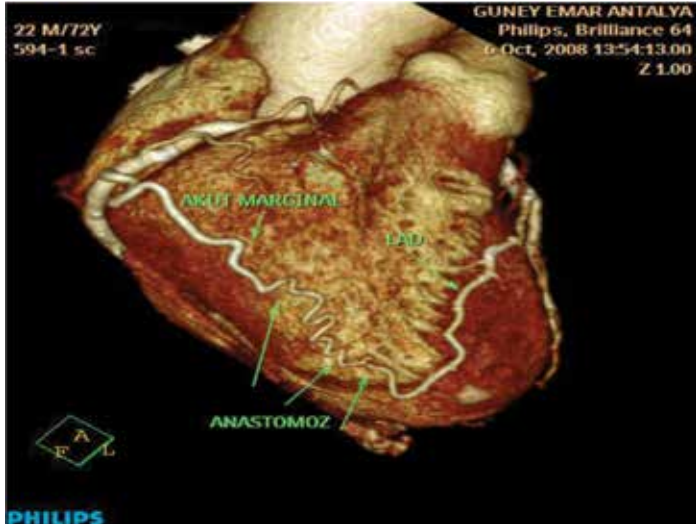


LAD'de septal çıkımın proksimalinde eksantrik, içerisinde noktasal kalsifikasyon içeren mikst plak.

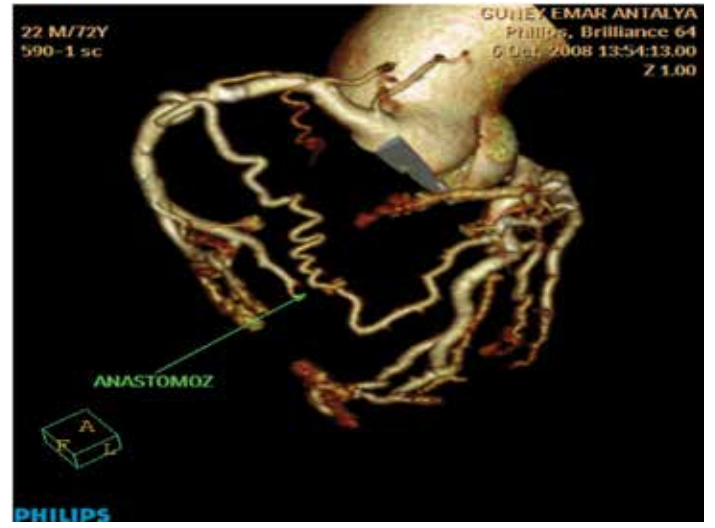


Aynı hastanın uzun eksen görüntüsü.

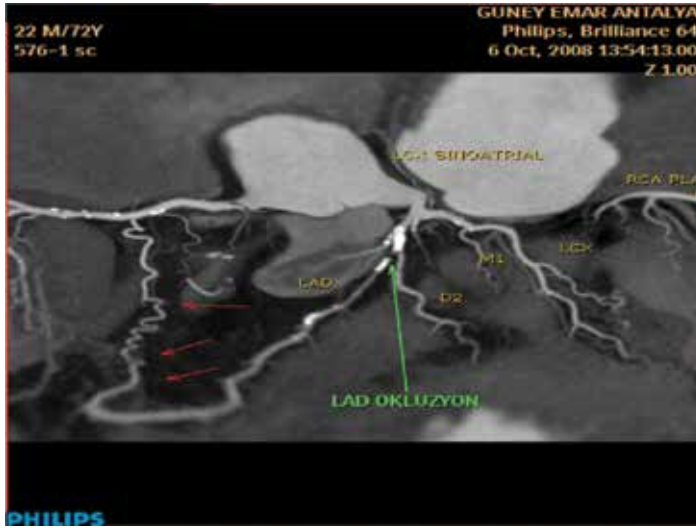
KORONER BT ANJİYOGRAFI



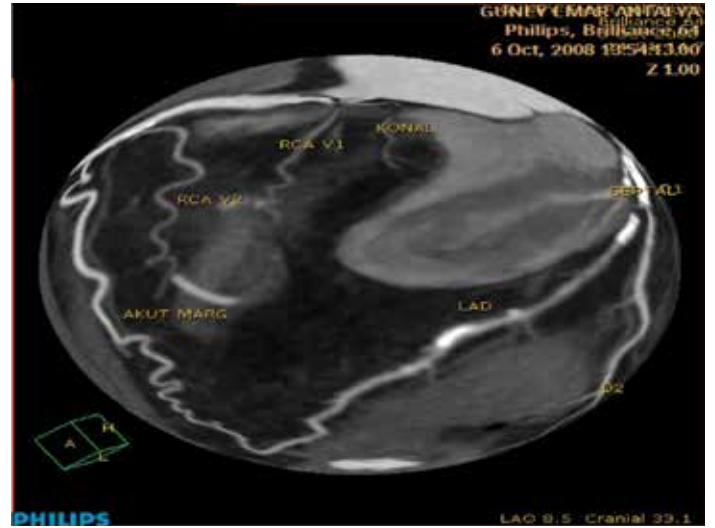
VRT görüntülemeye akut marginal dal ile LAD arasında ilişki, doğal bypass görünümü.



Aynı hastanın dallanmış ağaç görüntüsünde doğal anastomoz hattı.



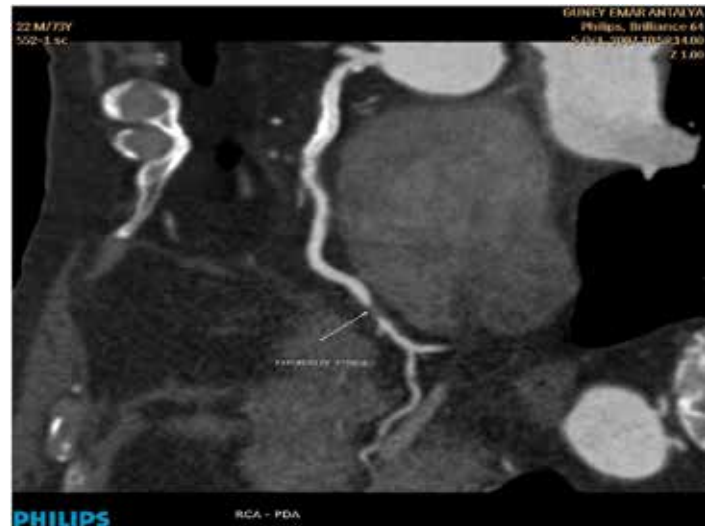
LAD proksimalinde oklüzyon, LAD distalinde ise akut marginal daldan kontrast doluğu gösteren retrograt akım izlenmektedir.



Globe görüntülemeye, LAD proksimalinde oklüzyon, distalinin ise akut marginal daldan beslendiği izlenmektedir.



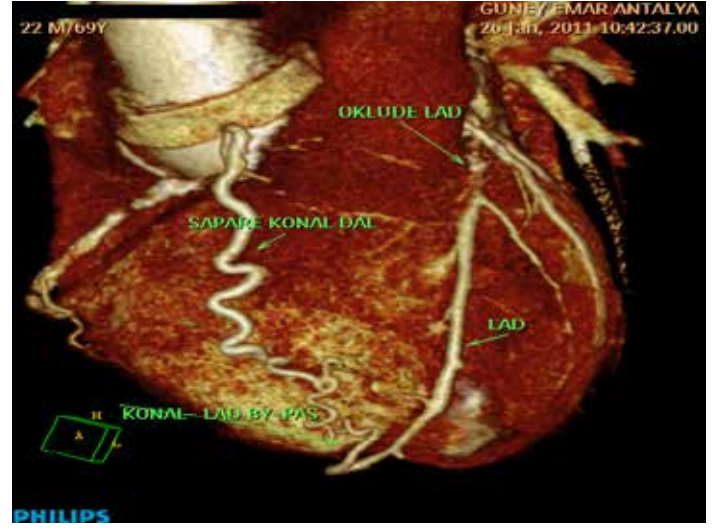
RCA distal segmentinde oklüzyon, proksimal ve orta segmentinde mikst plaklara bağlı multisegmenter orta derecede darlıklar izlenmektedir.



RCA distal kesiminde konsantrik yumuşak plağa bağlı kısa segment subokluziv stenoz.



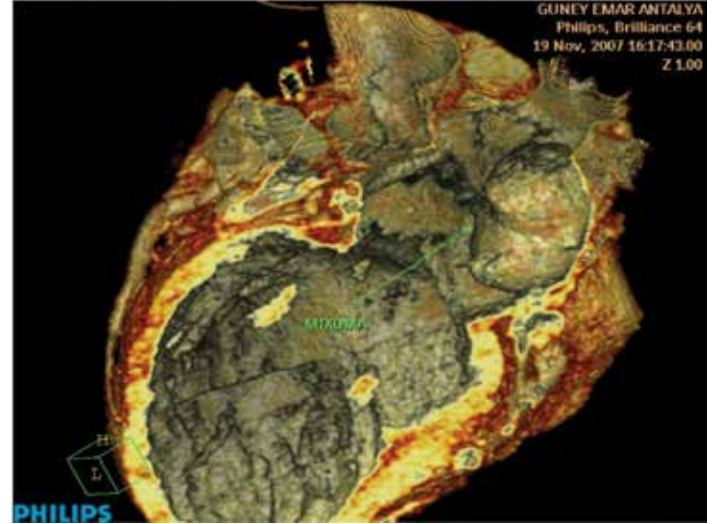
LAD'de oklüzyon ve LCX'de kritik stenoz.



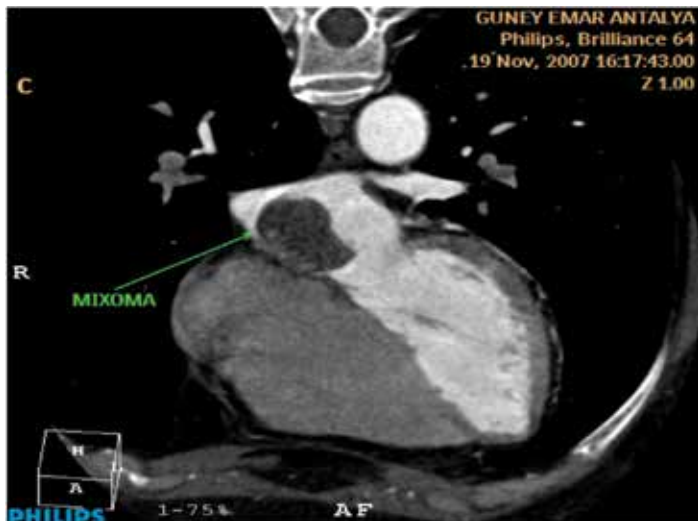
Konal dal sapare gelişmiş ve LAD distali ile kominikasyon göstermektedir. LAD proksimalinde uzun segment oklüzyon mevcut olup, LAD distali sapere konal daldan retrograt doluş göstermektedir.



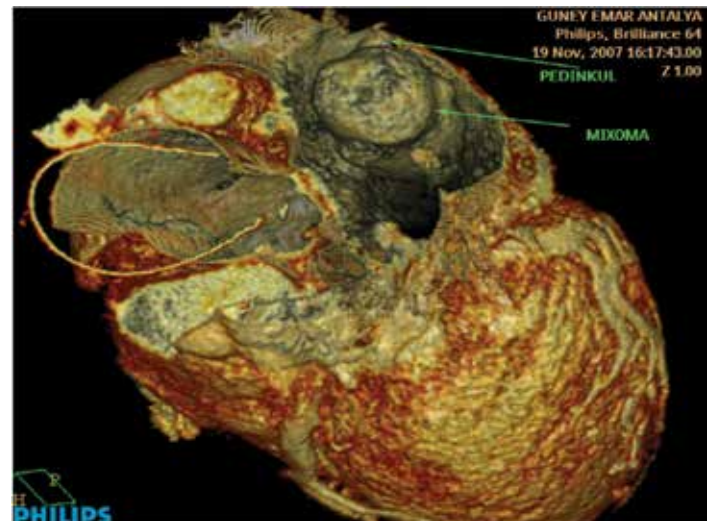
Sol atriumda geniş trombusa ait olabilecek defektif görünüm.



Sol atriumu kısmen oblitere eden kitlesel lezyon (mixoma).



Sol atrium arka duvarı ile yakın komşuluğu bulunan defektif görünüm (mixoma).

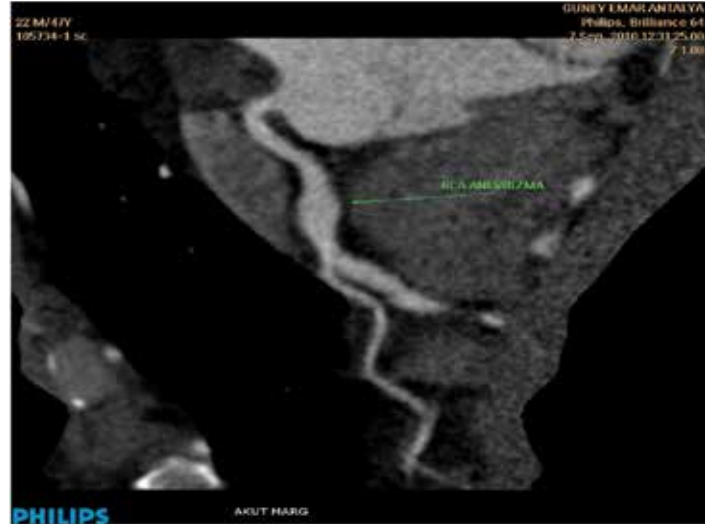


Aynı hastanın VRT görüntüsünde, kitle ve kitleyi atrium arka duvarına bağlayan sap. Kitlenin görünümü miksomayı düşündürmektedir.

KORONER BT ANJİYOGRAFİ



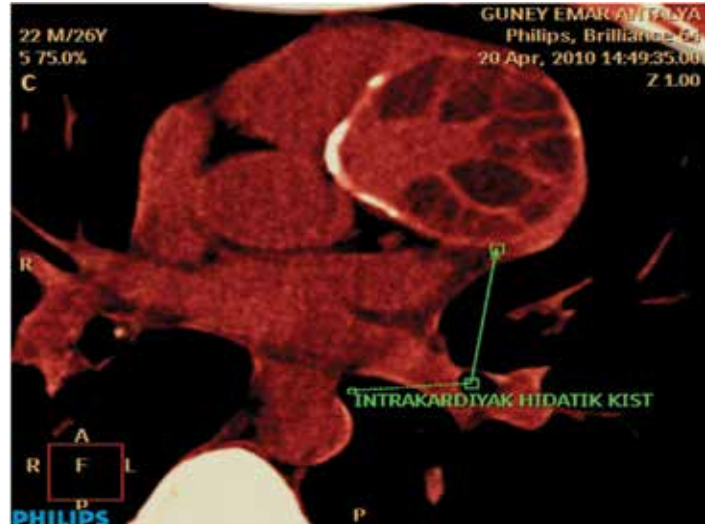
RCA proksimalinde fusiform anevrizmatik dilatasyon.



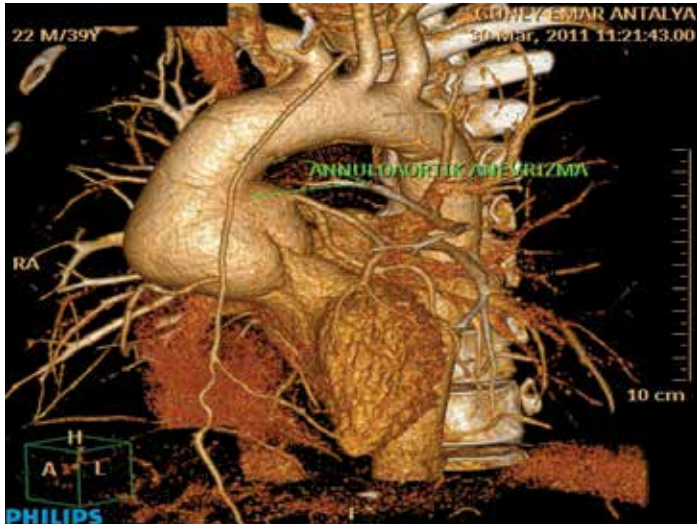
RCA proksimalinde fusiform anevrizmatik dilatasyon, Kawasaki hastalığı.



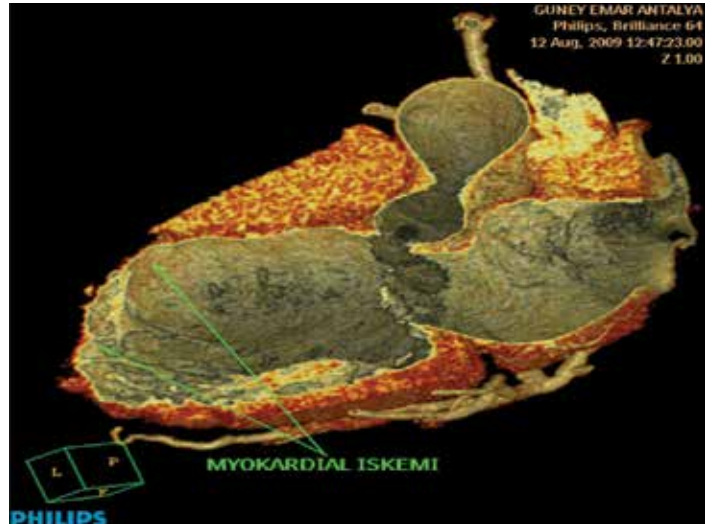
LCX proksimalinde fusiform anevrizmatik dilatasyon, Kawasaki hastalığını düşündürmektedir.



BT'de aksial görüntülemelerde sol ventrikül duvarında, içerisinde yer yer küçük kız veziküller içeren, duvarı kısmen kalsifiye, intrakardiak kist hidatik görünümü.



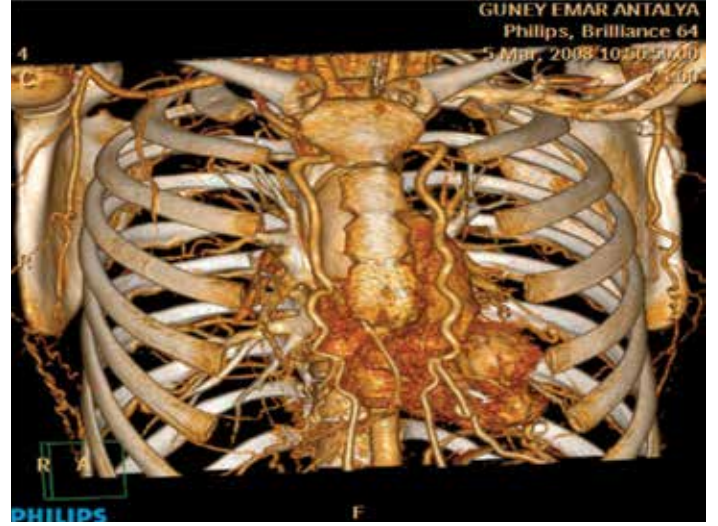
Anulus ve sinotübüler junctionu atake eden anevrizmatik dilatasyon.



Kalbin kesitsel anatomisinde, geçirilmiş iskemiye bağlı myokard ileri derecede incelmış ve sol ventriküler anevrizma mevcuttur.



Arkus aorta distalinde torakal aorta ile devamlılık göstermeyen interrupted aortik ark ve hipoplazik arkus aortanın VRT görüntüsü.



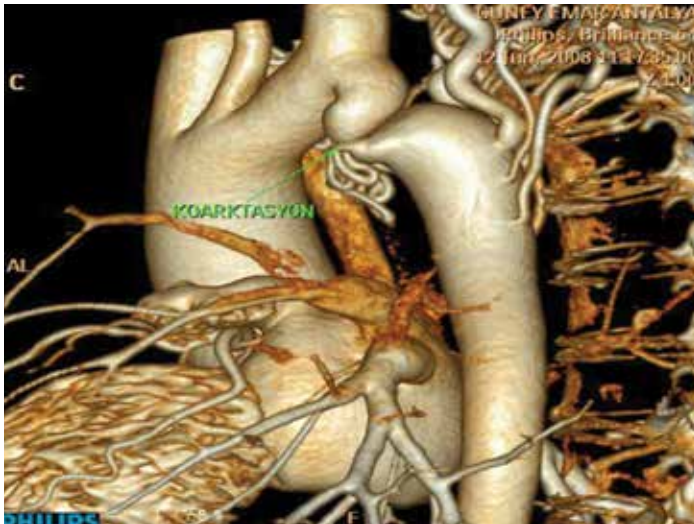
Aynı hastada belirgin şekilde genişlemiş LİMA ve RİMA.



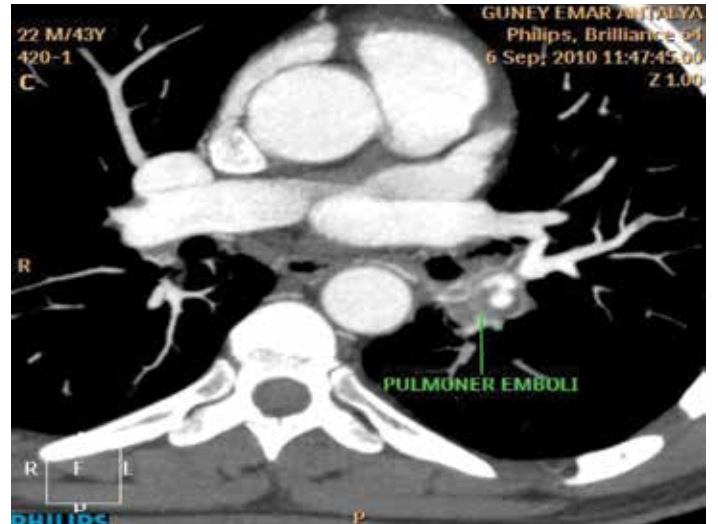
Aynı hastanın MİP görüntülemesinde genişlemiş interkostal arterlerin torakal aorta ile ilişkisi.



BT koroner anjiyografi sırasında tesadüfen bulunan aort koarktasyonu.



Aynı hastada VRT görüntüsü ve genişlemiş interkostal arterlerin torakal aorta ile ilişkisi.



Sol pulmoner arterde emboli ile uyumlu olabilecek defektif görünüm.

TORAKAL BT ANJİYOGRAFİ



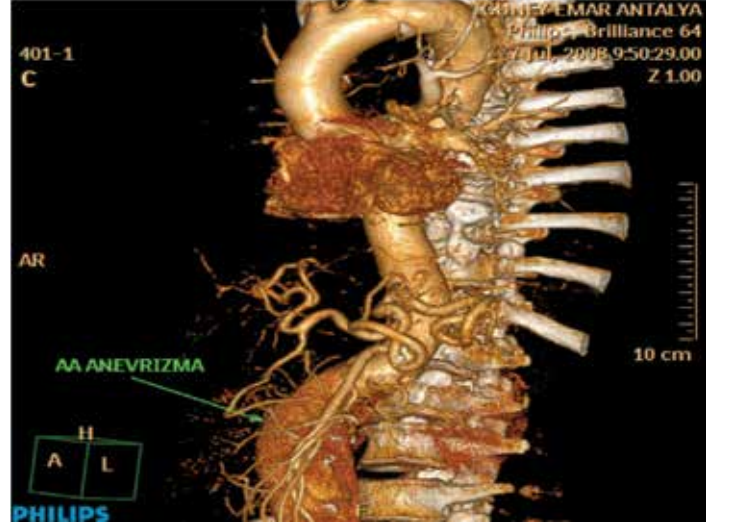
Aynı hastanın koronal planda MİP görüntüsü.



Aynı hastada emboliye sekonder oklüde pulmoner arter.



İnfrarenal abdominal aortik anevrizma (renal arterler atake olmamıştır).



İnfrarenal abdominal aortik anevrizmanın üç boyutlu görüntülenmesi.



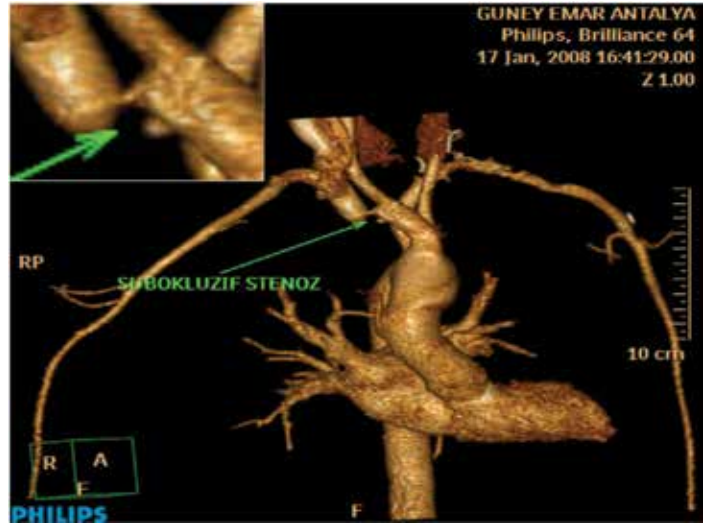
Anevrizmatik segmentte yer yer noktasal kalsifikasyon içeren geniş ateromatöz plak.



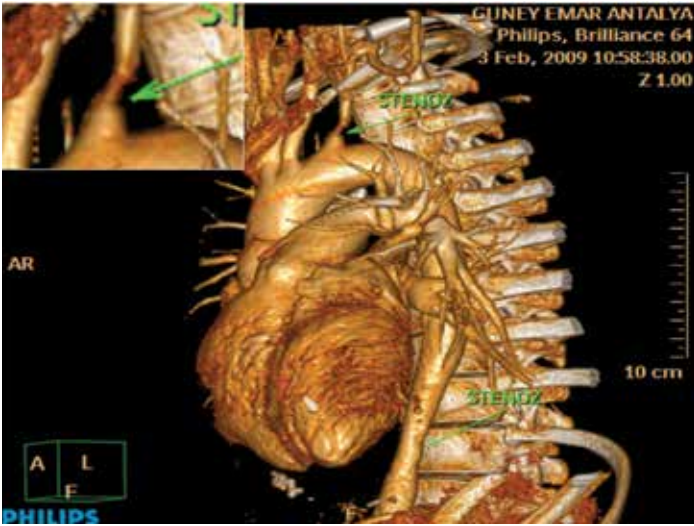
Sağ eksternal iliak arterde uzun segment hafif derecede stenoz.



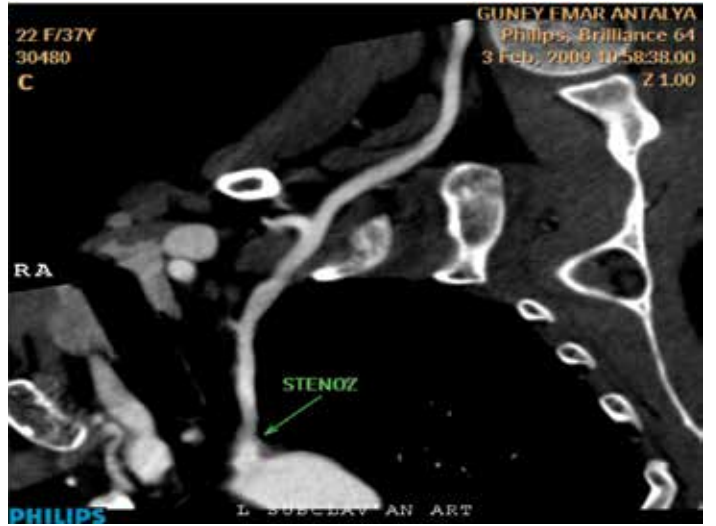
Aynı hastanın üç boyutlu görüntülemesi, vaskülit tanısı almış olgu.



Sağ subklavian arter osteal düzeyde ileri derecede darlık.



Subklavian arter orijini düzeyinde ileri derecede, torakal aortada ise orta derecede stenoz (vaskülit).



Sol subklavian arter proksimalinde orta derecede darlık, MİP görüntüleme.



Sağ aksillar arterde uzun segment oklüzyon.



Aynı hastada VRT görüntüleme.

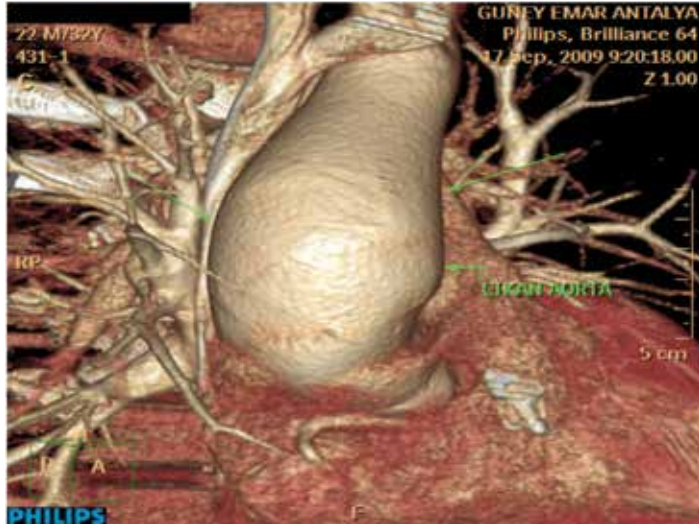
TORAKAL BT ANJİYOĞRAFI



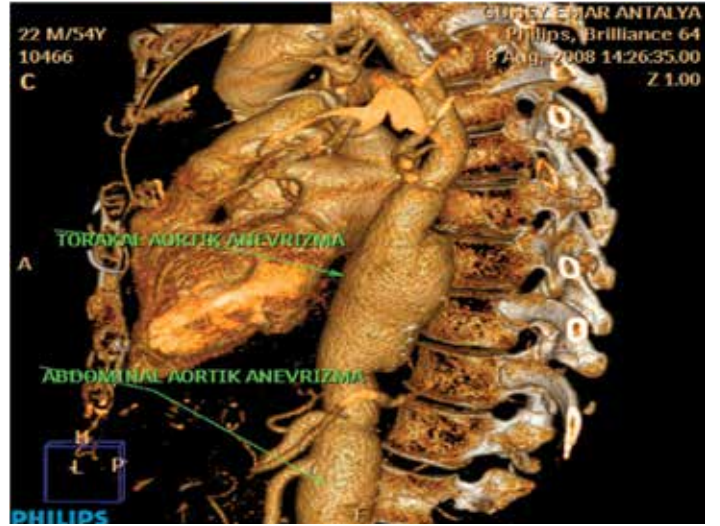
Çıkan aorta'da sinotübüler junction düzeyinde eksantrik ülsere yumuşak plak.



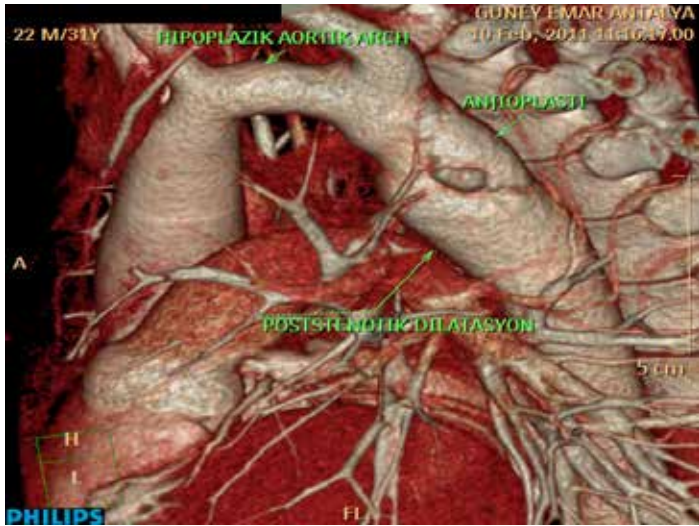
Aynı hastanın MİP görüntülemesi.



Aort kökünde valvuler ve sinotübüler junctionu atake eden çıkan aorta anevrizması.



Torakal ve abdominal aortik anevrizma, VRT görüntüleme.

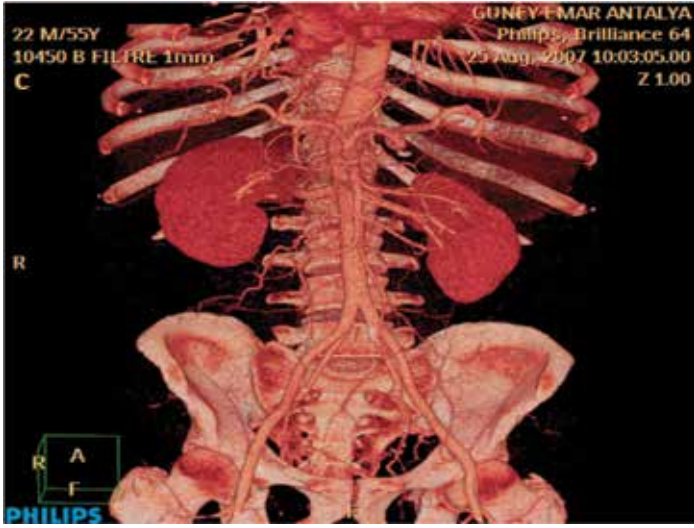


Postduktal opere aort koarktasyonu ve hipoplazik aort kavsi.



Aort diseksiyonu ve bifid aort kapağı.

ABDOMİNAL BT ANJİYOĞRAFI



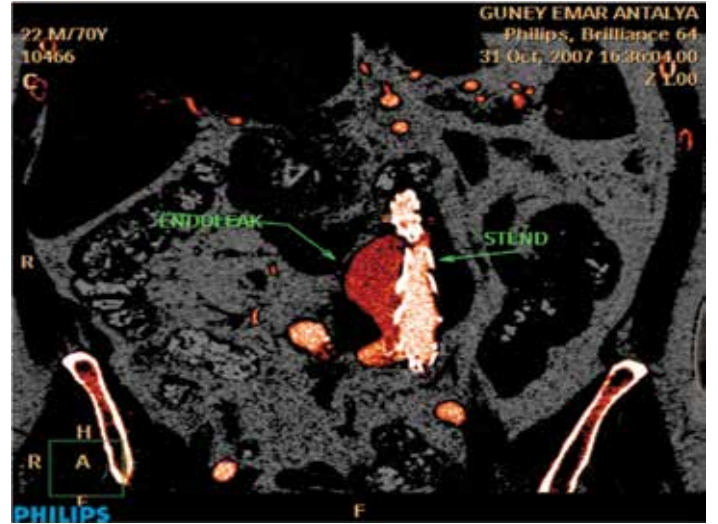
Normal aortoiliak arterlerin ve dallarının VRT ile anatomik görüntülenmesi.



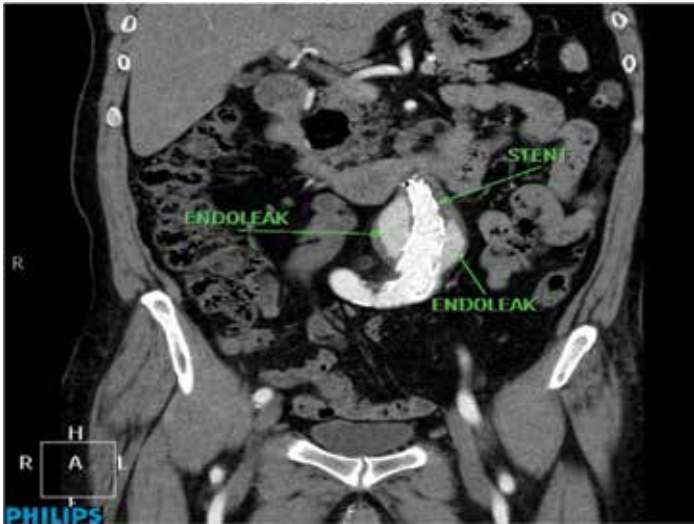
Her iki common iliak arter proksimalini atake eden infrarenal abdominal aortik anevrizma.



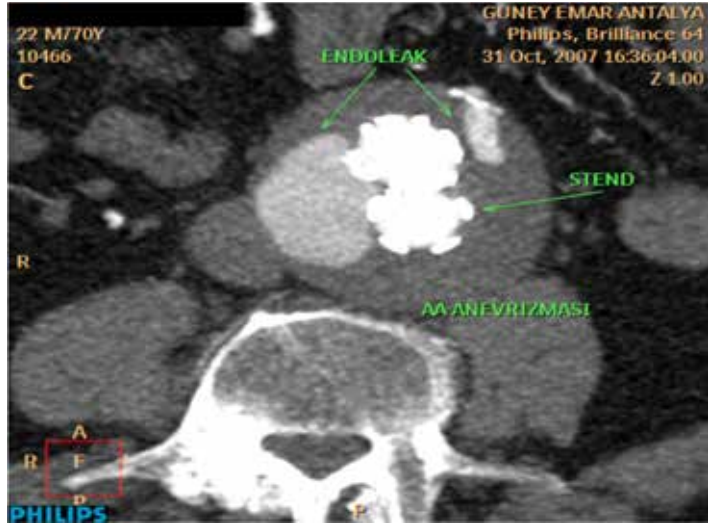
Aynı hastanın üç boyutlu görüntülenmesi.



İnfrarenal abdominal aortik anevrizması bulunan hastada pantolon stent ve tip 1b endoleak.

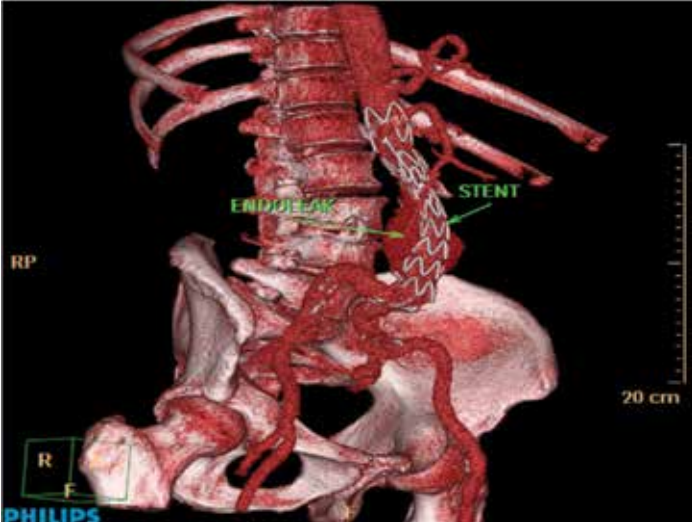


Koronal planda MİP görüntüleme; anevrizma kavitesi içerisinde proksimale ekstrasvazyon (tip 1b endoleak).



Aynı hastanın aksiyal planda MİP görüntülenmesi.

ABDOMİNAL BT ANJİYOĞRAFI



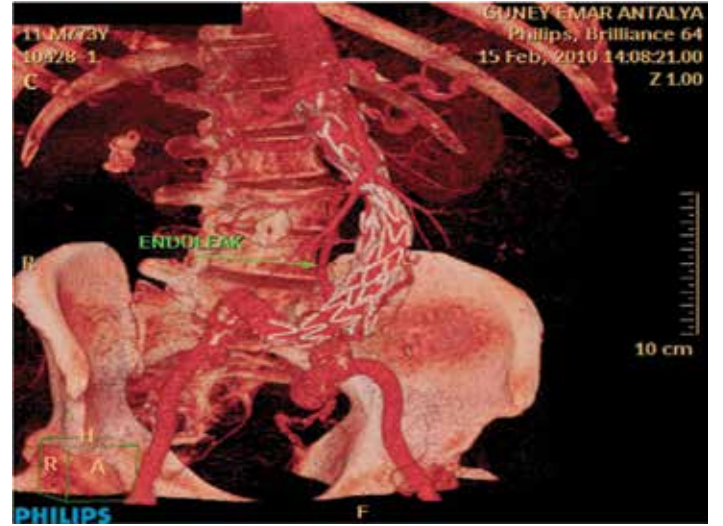
Üç boyutlu görüntülemelerde aynı hastada stent ucunun anevrizmatik segment içerisinde kaldığı görülmektedir.



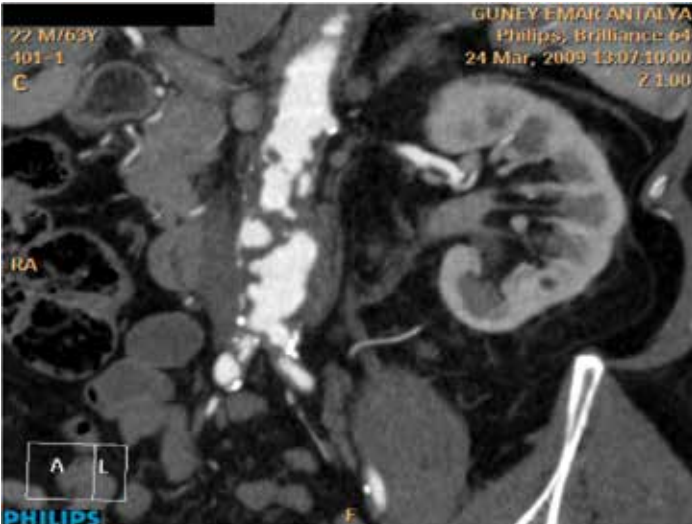
VRT görüntülemelerde endoleak.



Aynı hastada operasyondan sonra ekstravazasyonda belirgin azalma.



Aynı hastanın operasyon sonrası üç boyutlu görüntülemesi.

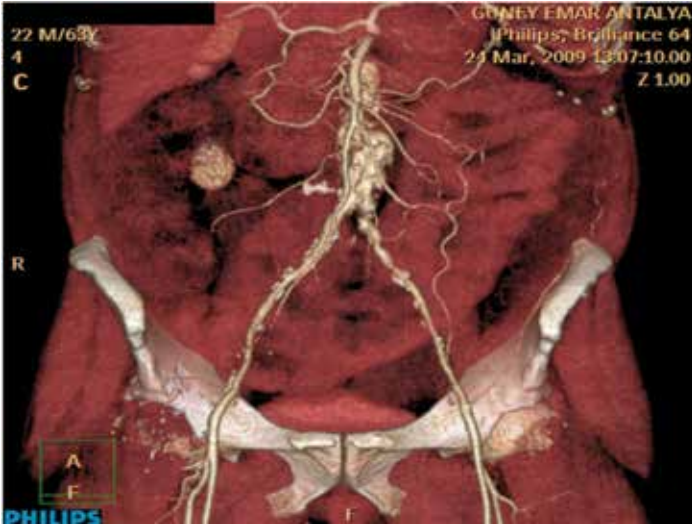


Renal ve infrarenal aortik anevrizma, anevrizma duvarında diffüz ülsere plaklar.

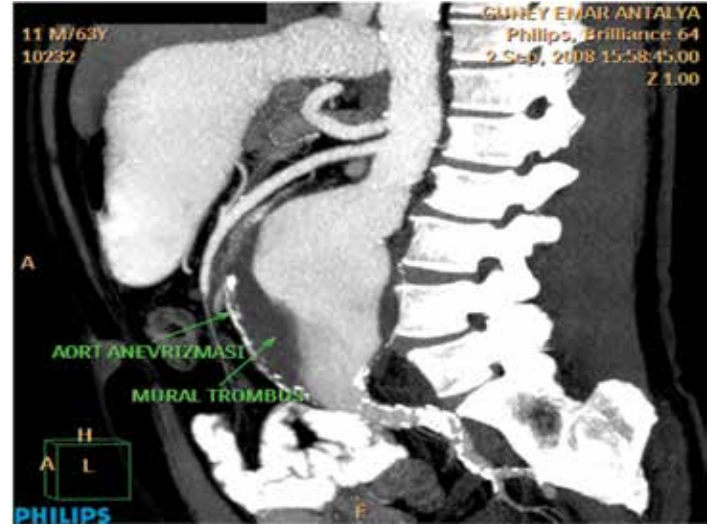


Aynı hastada aorto-iliak kalsifiye ve ülsere plaklar izlenmektedir.

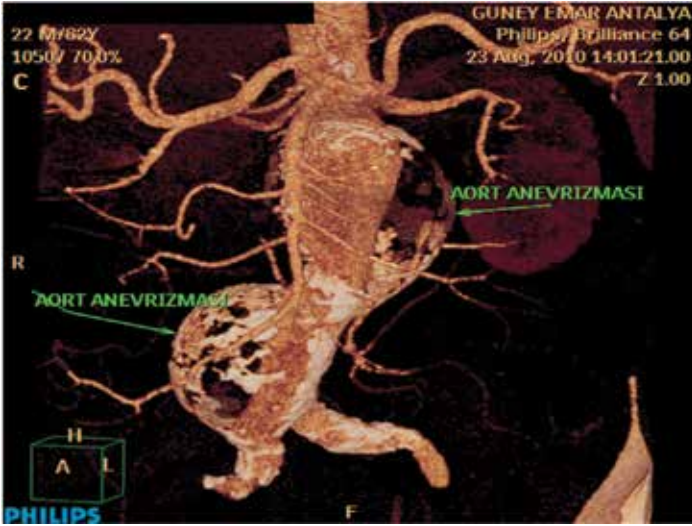
ABDOMİNAL BT ANJİYOGRAFİ



Aynı hastanın üç boyutlu görüntülenmesi.



Geniş mural trombus içeren iki ayrı infrarenal abdominal aortik anevrizma.



Aynı hastanın üç boyutlu görüntülenmesi.



Aynı hastanın MİP görüntülenmesi.

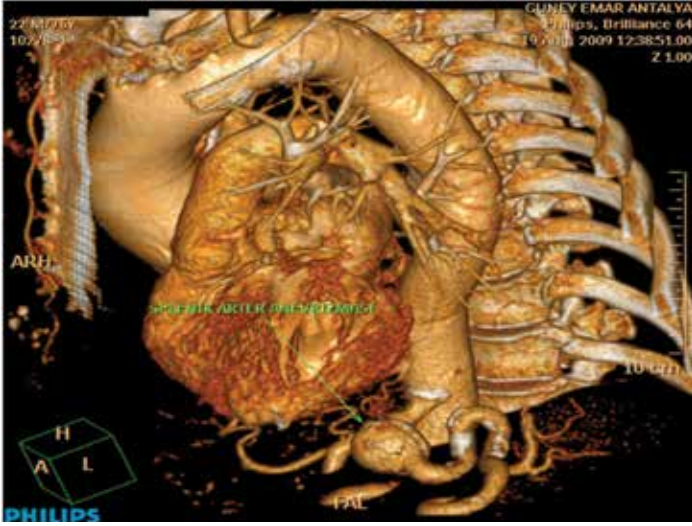


Rastlantısal olarak bulunan splenik arter anevrizması.



MİP görüntülemesinde splenik arterde sakküler anevrizma ve splenik arter duvarında nonstenotik kalsifiye plaklar.

ABDOMİNAL BT ANJİYOĞRAFI



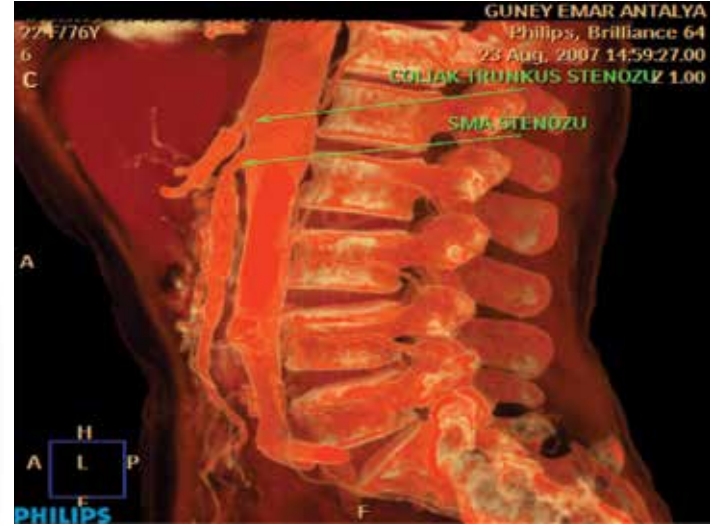
Aynı hastada üç boyutlu görüntüleme.



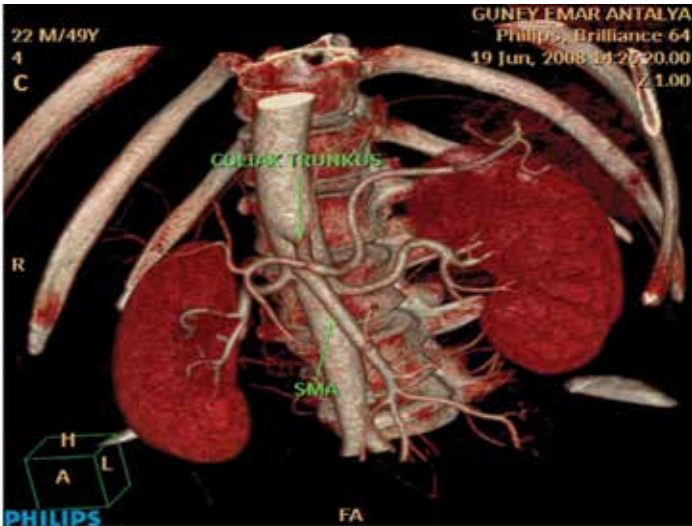
Parasagittal VRT görüntülemesinde splenik arter anevrizması.



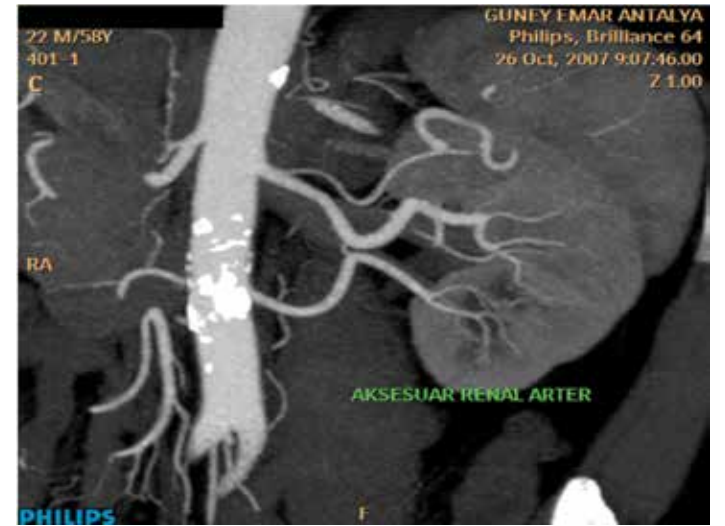
Çöliak trunkus ve superior mezenterik arterde osteal düzeyde stenoz.



Aynı hastanın VRT görüntüsü.



Üç boyutlu görüntülemelerde normal renal ve abdominal aorta dalları.

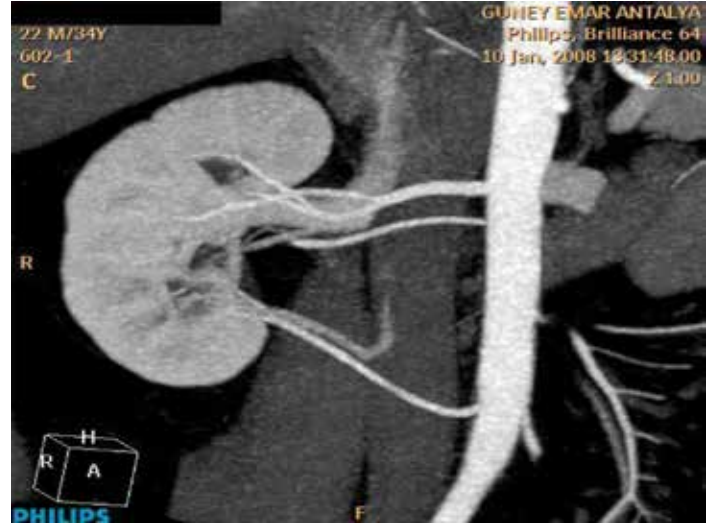


MİP görüntüde aksesuar renal arter.

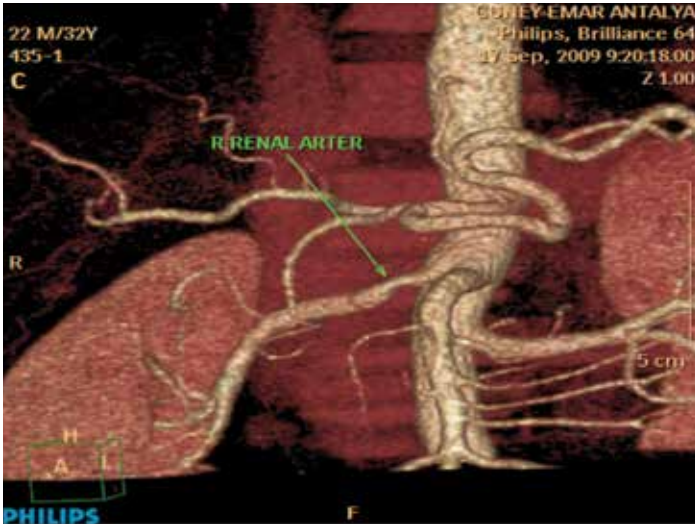
ABDOMİNAL BT ANJİYOGRAFİ



Normal renal arter.



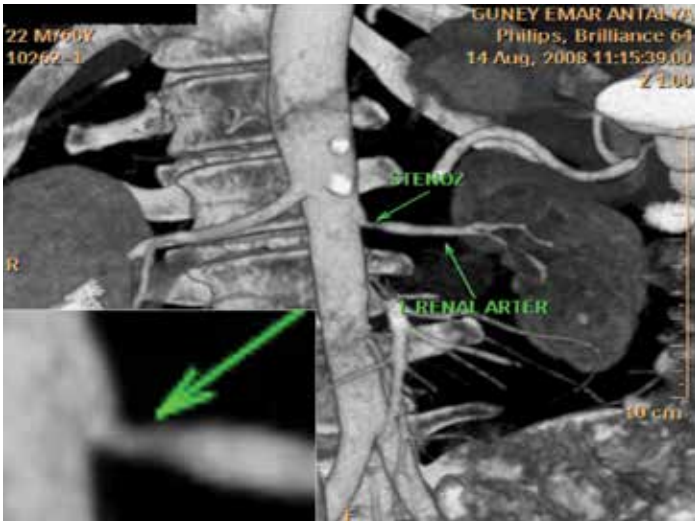
MİP görüntülemelerde multipl aksesuar renal arterler.



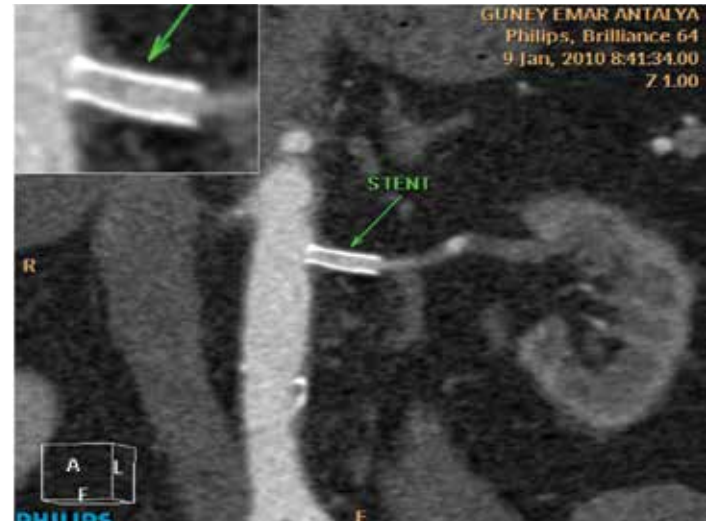
VRT incelemede sağ renal arter proksimalinde kısa segment ileri derecede stenoz, normal sınırlarda sol renal arter.



Aortadan uzanan konsantrik yumuşak plak, sol renal arter osteal düzeyde kısa segment ileri derecede stenozu neden olmaktadır.

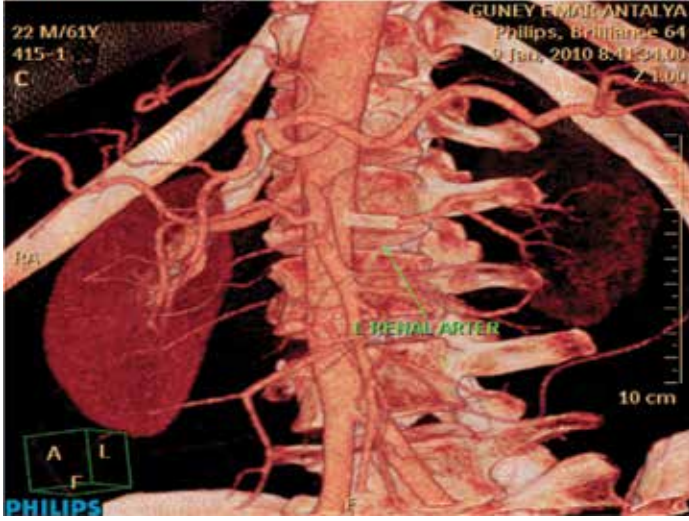


Aynı hastanın VRT görüntülemesi.



Aynı hastada stent uygulandıktan sonraki MİP görüntüsü.

ABDOMİNAL BT ANJİYOĞRAFI



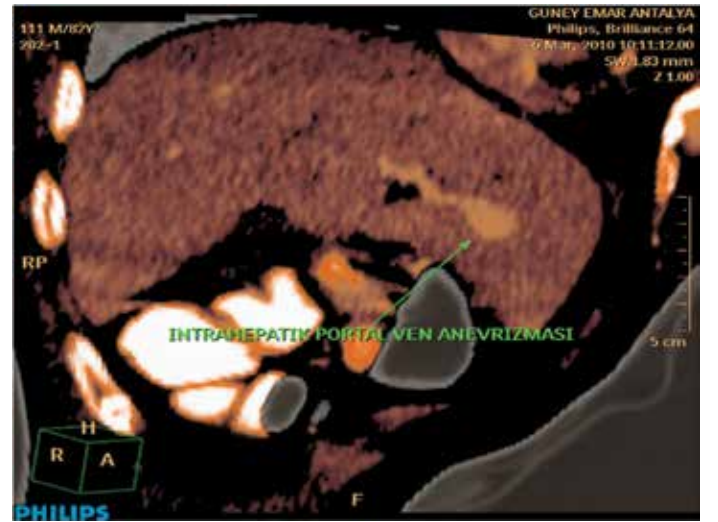
Aynı hastada stent uygulandıktan sonraki VRT görüntüsü.



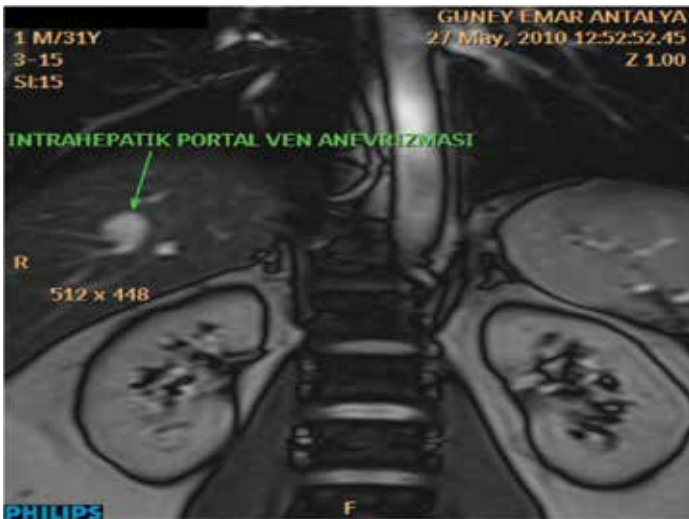
Bilateral renal arter stenozu.



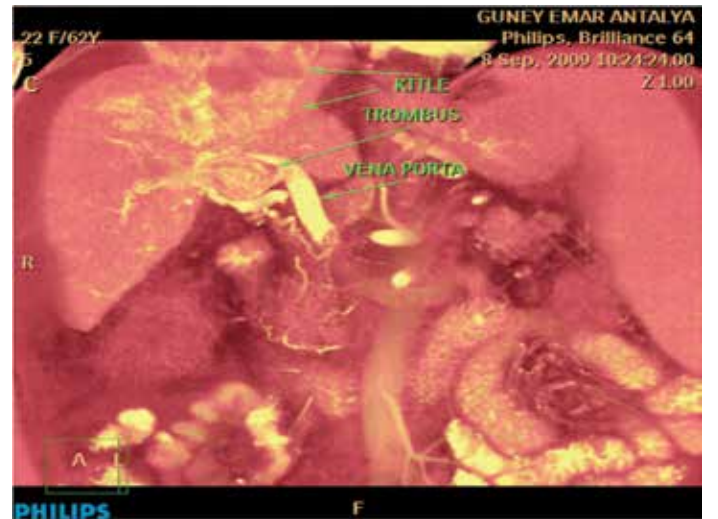
Normal superior mezenterik arter ve dalları.



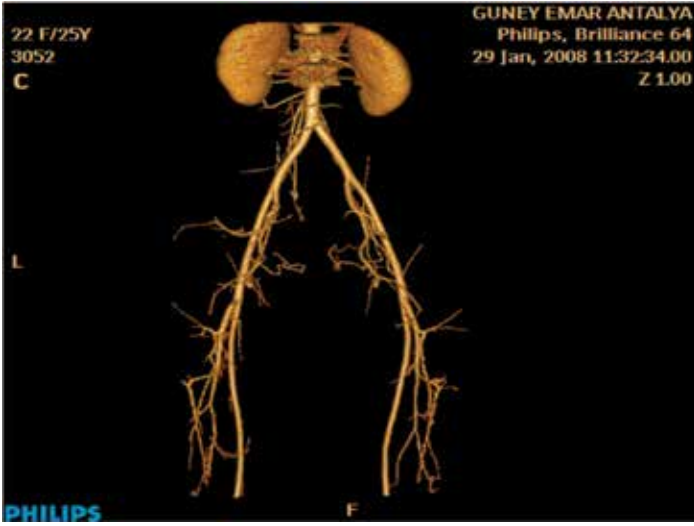
Karaciğer sol lob lateral segmentte intrahepatik portal ven anevrizması.



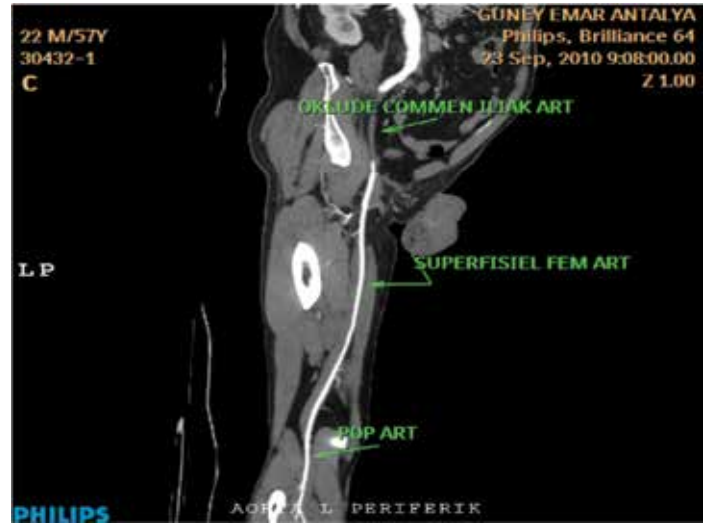
MR incelemede karaciğer sağ lob posterior segmentte intrahepatik portal ven anevrizması.



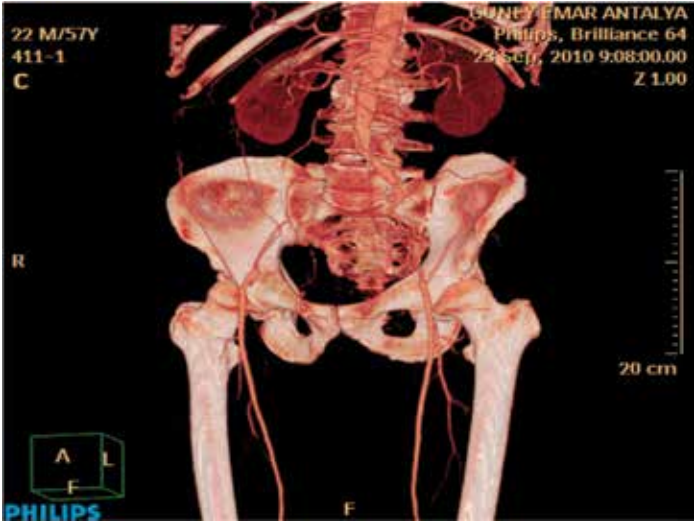
Portal veni ileri derecede ekspansiyon eden, portal ven trombusuna ait defektif görünüm, karaciğer sol lob lateral segmentte kitlesel lezyon (HCC).



Normal periferik anjiyografi, VRT görüntüleme.



Common iliak arterde uzun segment yumuşak plağa bağlı oklüzyon.



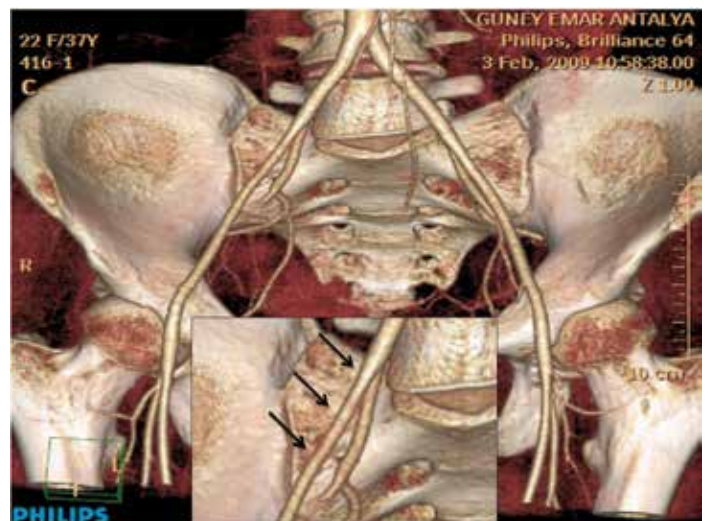
Her iki common iliak ve eksternal iliak arterlerde oklüzyon, üç boyutlu görüntüleme.



Aorto-iliak bölgede eksantrik yumuşak plaklara bağlı orta derecede stenoz.



Aynı hastanın üç boyutlu görüntülemesi.

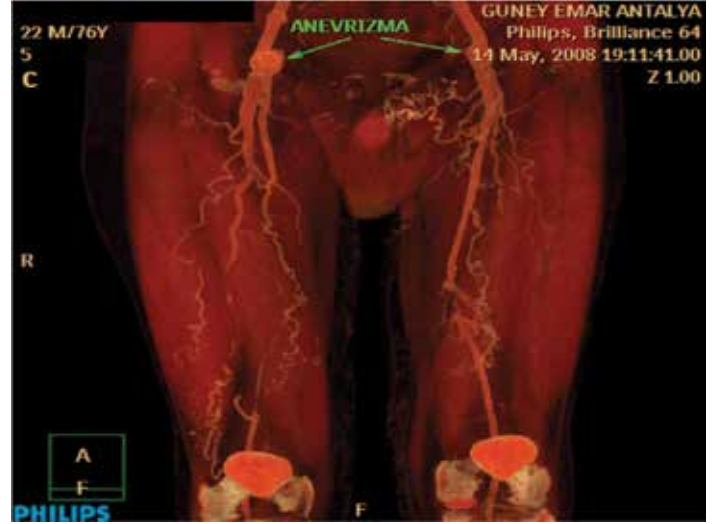


Sağ eksternal iliak arterde diffüz orta derecede stenoz (vaskülit).

PERİFERİK BT ANJİYOĞRAFI



Sağ common iliak arter oklüzyonu.



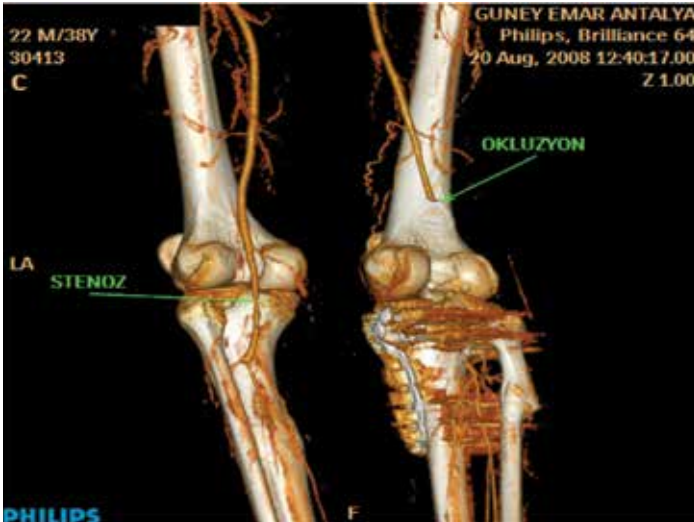
Her iki ana femoral arterde anevrizmatik dilatasyon, sağ superfisial femoral arterde tüm trasesi boyunca, sol superfisial femoral arterde ise kısa segment oklüzyon.



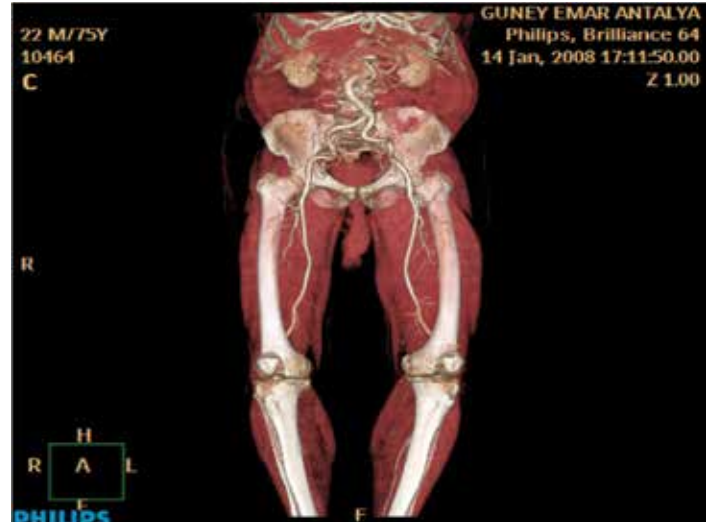
Bilateral superfisial femoral arter oklüzyonu.



Sağ popliteal arter oklüzyonu, MİP görüntüleme.



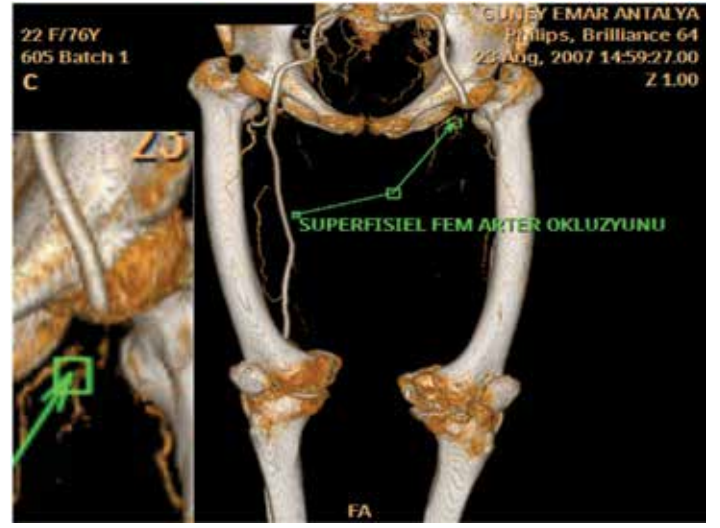
Sağ popliteal arter oklüzyonu, sol popliteal arterde orta derecede stenoz, üç boyutlu görüntüleme.



Distorde aortoiliak arterler.



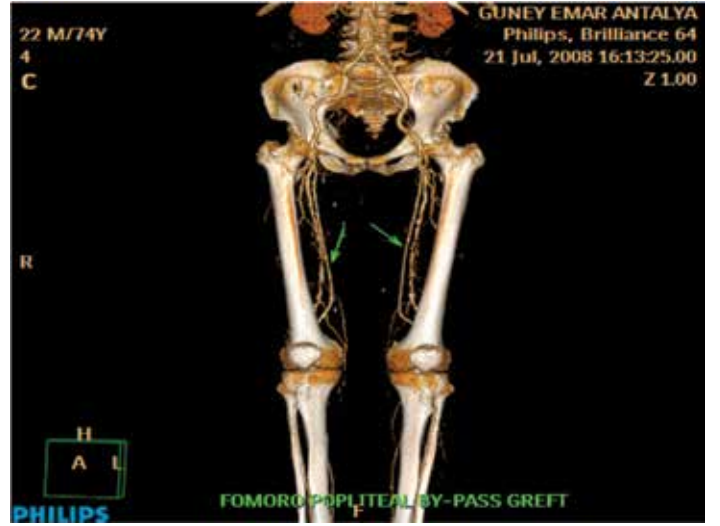
Sağ popliteal arterde eksantrik yumuşak plağa bağlı hafif derecede stenoz.



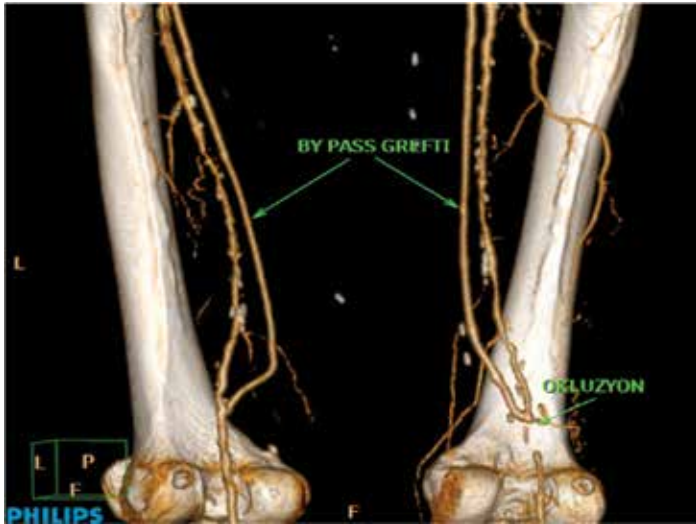
Sol superfisial femoral arter oklüzyonu, üç boyutlu görüntüleme.



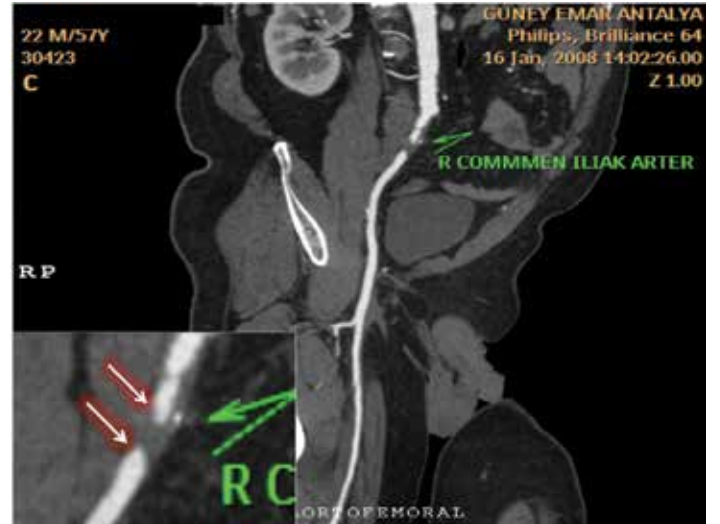
Sol superfisial femoral arterde tüm trasesi boyunca oklüzyon.



Normal bilateral femoro-popliteal bypass greft.

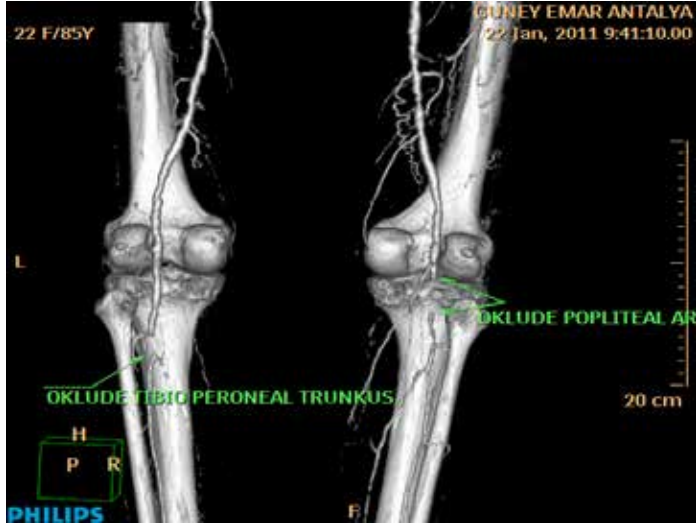


Aynı hastanın distal anastomoz hattı tabanında popliteal arter oklüzyonu, üç boyutlu görüntüleme.

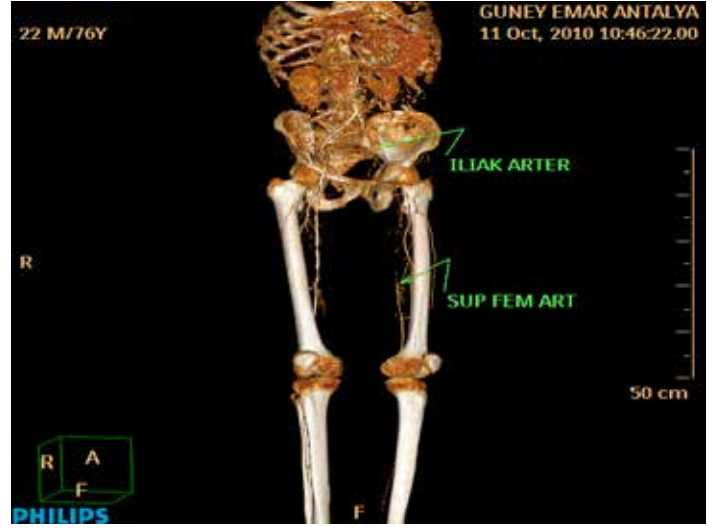


Sağ common iliak arter oklüzyonu.

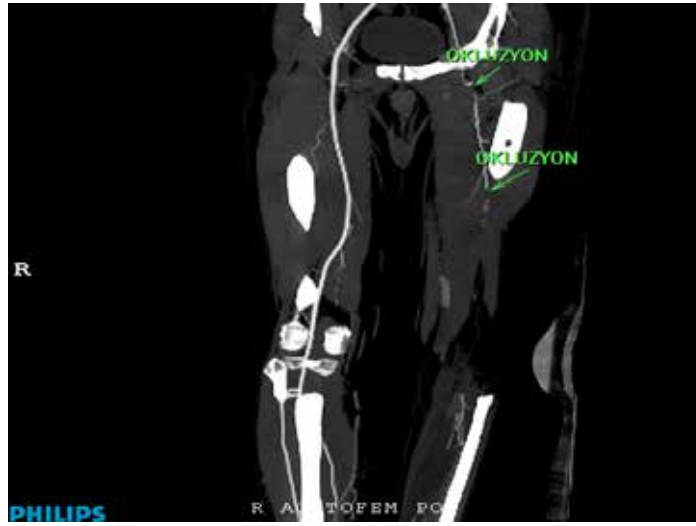
PERİFERİK BT ANJİYOĞRAFI



Sağda popliteal arter oklüzyonu, solda ise tibioperoneal trunkusta yumuşak plağa bağlı oklüzyon.



İleofemoral arter oklüzyonu.



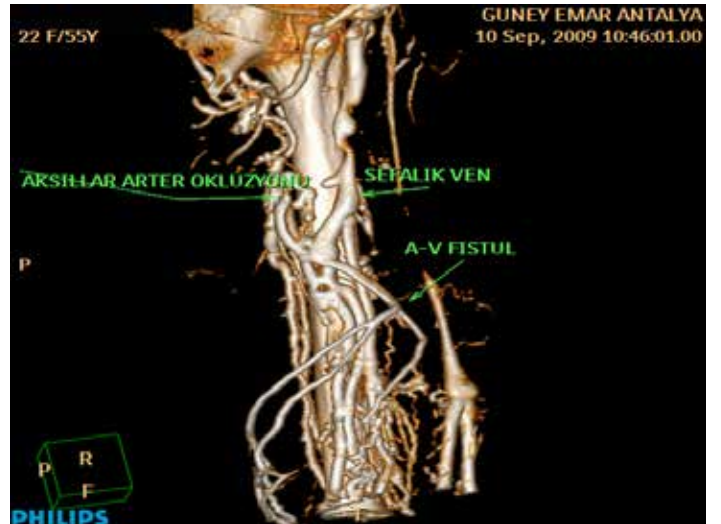
Sol common femoral arterde iki yerde oklüzyon.



Sol süperfisyal femoral arterde osteal düzeyden itibaren tüm trasesi boyunca oklüzyon.



Sol vena safena magna'da lümeni tümüyle oblitere eden masif venöz trombus.



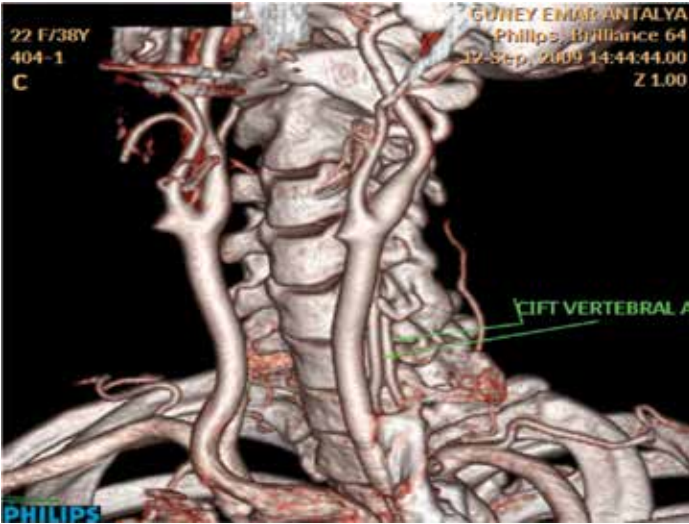
Aksiller arter oklüzyonu ve arteriovenöz fistül.



Ekstra foraminal seyir gösteren sağ vertebral arter.



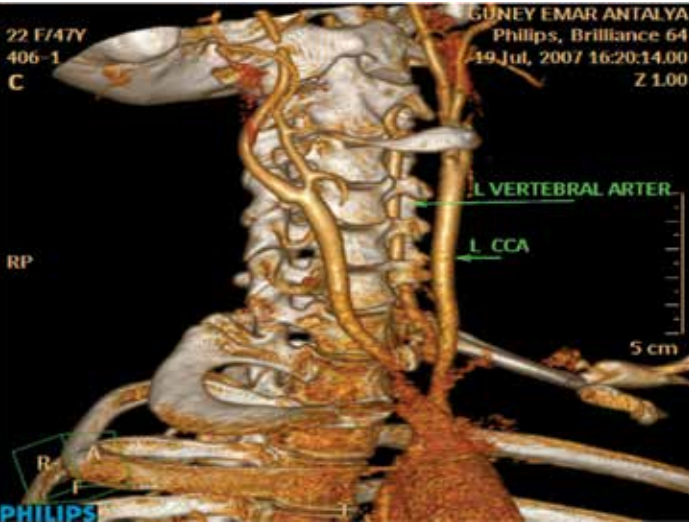
Sol çift vertebral arter, C4 düzeyinde birleşim gösterip tek vertebral arter olarak seyir göstermektedir.



Aynı hastanın üç boyutlu görüntülemesi.



Sol İCA'da tüm trasesi boyunca oklüzyon.



Sağ vertebral arter izlenemiyor (oklüde).

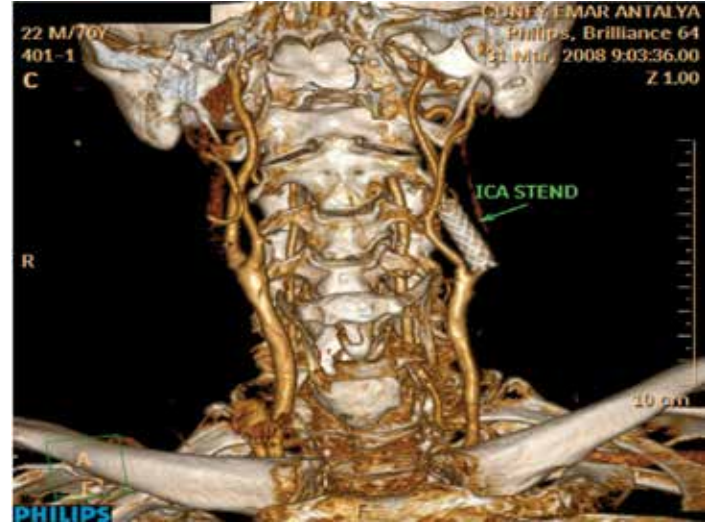


Vaskülit tanısı alan olguda, subklavyan arterde eksantrik yumuşak plaklara bağlı multisegmenter hafif derecede stenozlar.

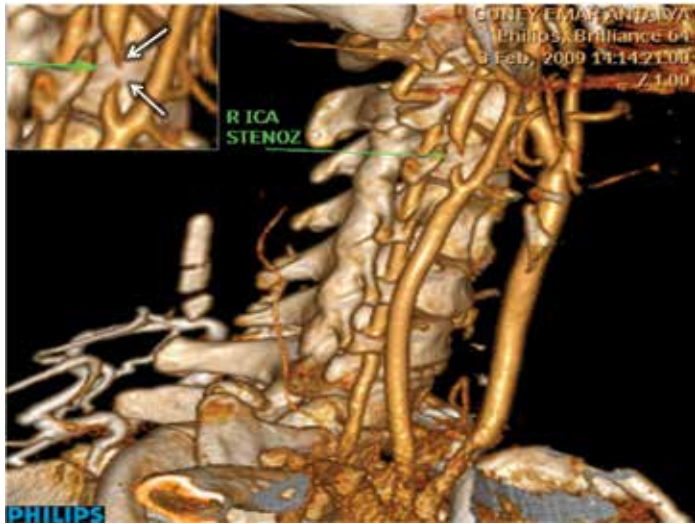
NÖROLOJİK BT ANJİYOGRAFI



Sağ vertebral arter oklüzyonu, distalde retrograt akım, MIP görüntüleme.



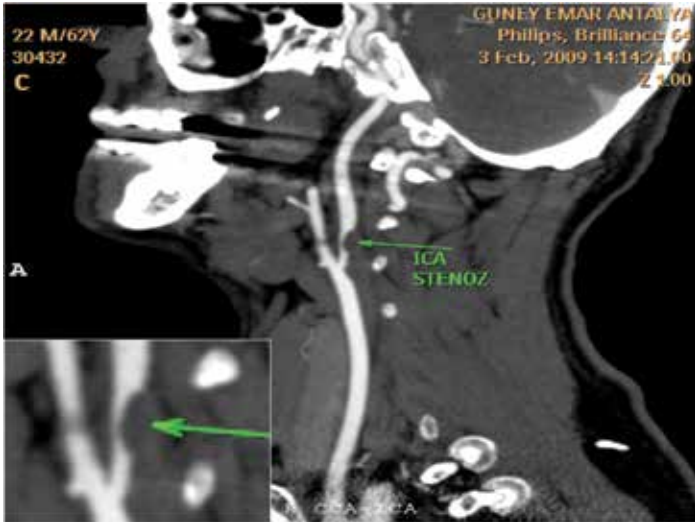
Sol İCA proksimalinde patent stent.



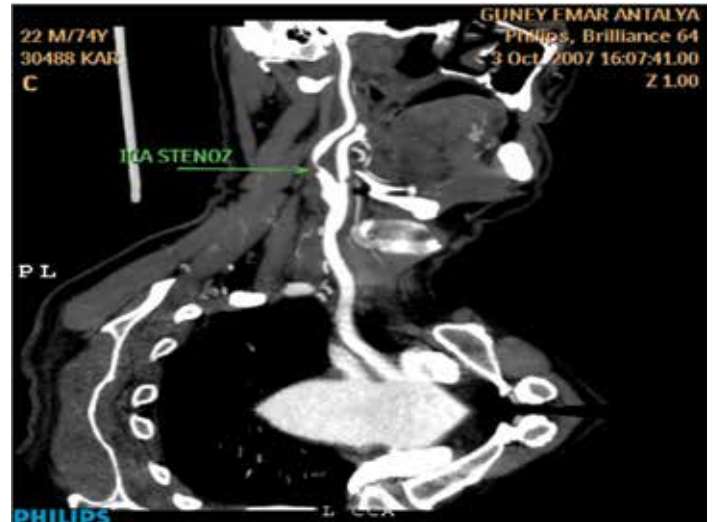
Sağ İCA proksimalinde ileri derecede stenoz.



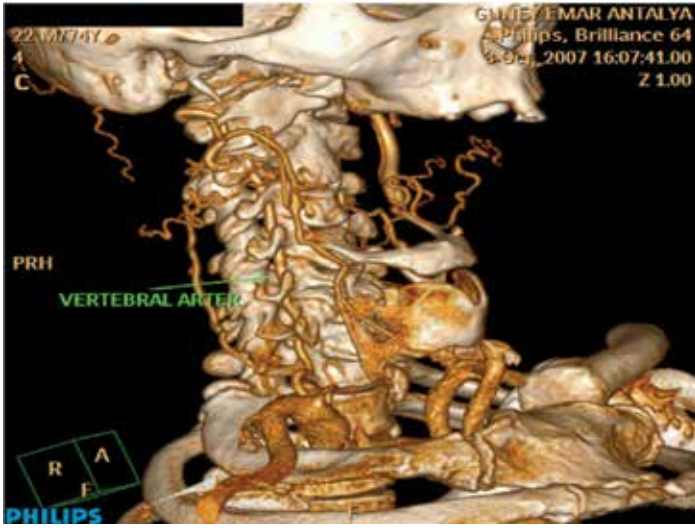
İCA proksimal segmentinde yumuşak plağa bağlı kısa segment oklüzyon, inceleme AVA yöntemi ile gerçekleştirilmiştir.



Sol İCA proksimalinde, CCA'dan uzanan ve pozitif remodeling etkili yumuşak plağa bağlı kısa segment kritik stenoz.



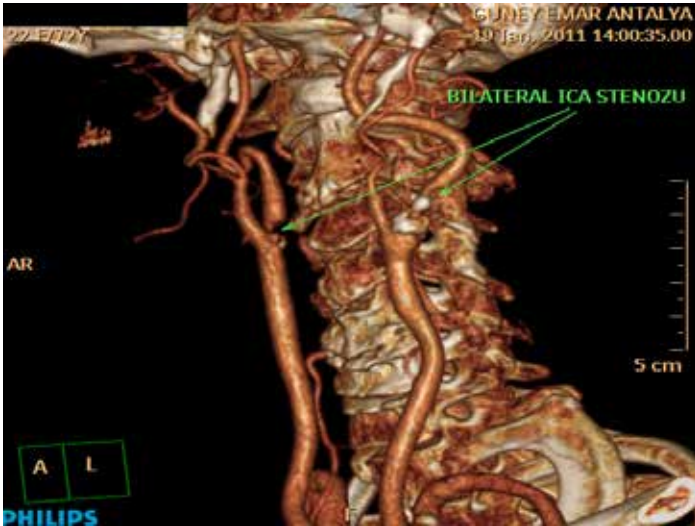
AVA yöntemi ile incelenen MIP görüntülemelerde sağ İCA proksimalinde ileri derecede stenoz.



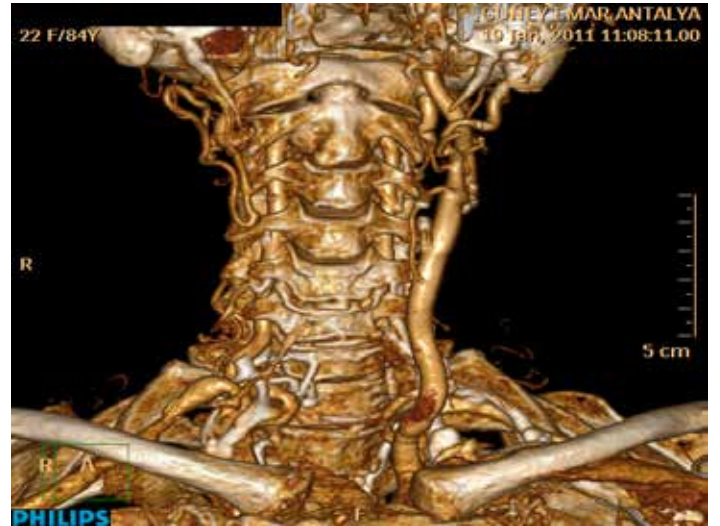
Sağ CCA, İCA ve ECA'da tüm trasesi boyunca oklüzyon.



Aynı hastada VRT görüntüleme.



Bilateral İCA proximalinde ileri derecede stenoz.



Sağ CCA'da total oklüzyon.

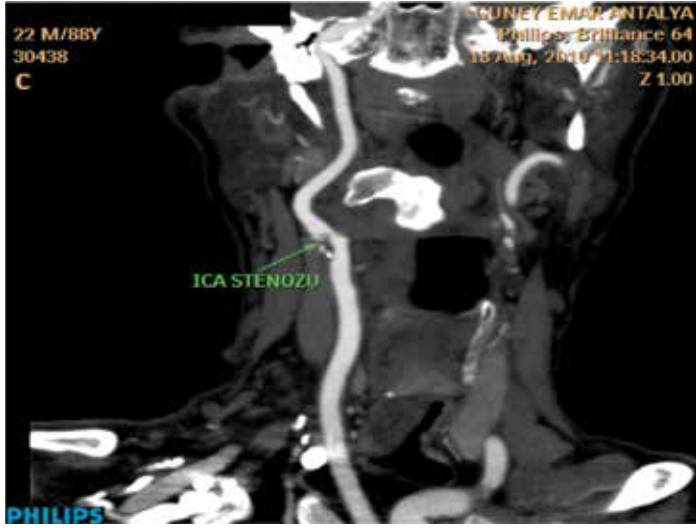


Sol İCA tüm trasesi boyunca oklüzyon.

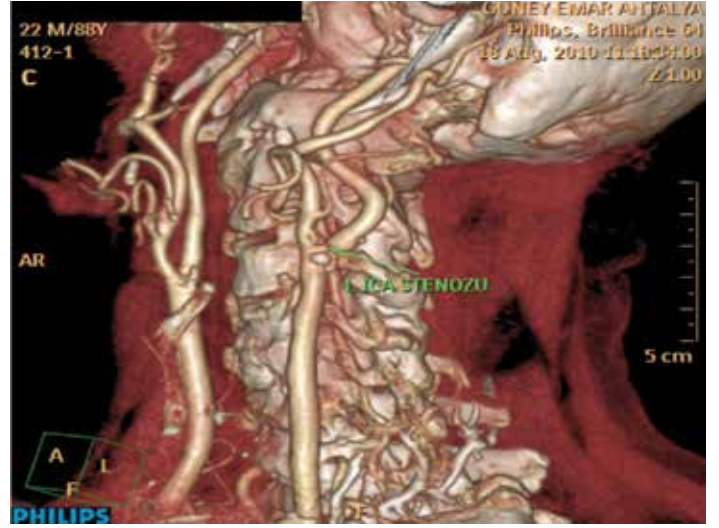


Sol vertebral arter proksimalinde uzun segment oklüzyon.

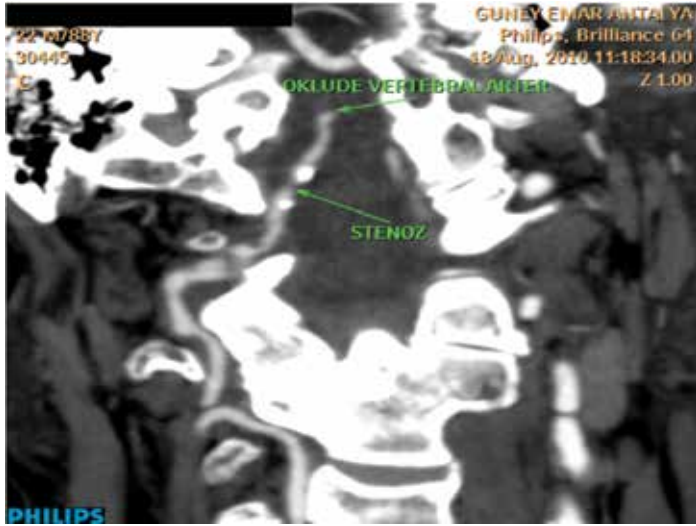
NÖROLOJİK BT ANJİYOGRAFI



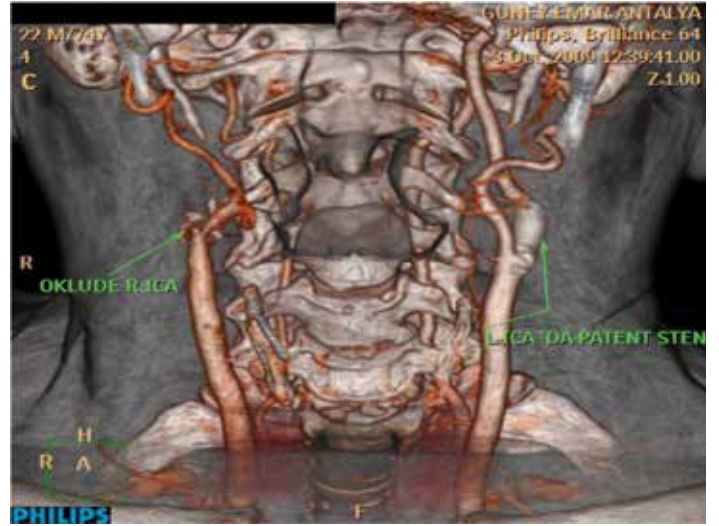
Sol İCA proksimalinde, CCA bulbdan uzanan mikst plak, İCA lümeninde kritik stenozu neden olmaktadır.



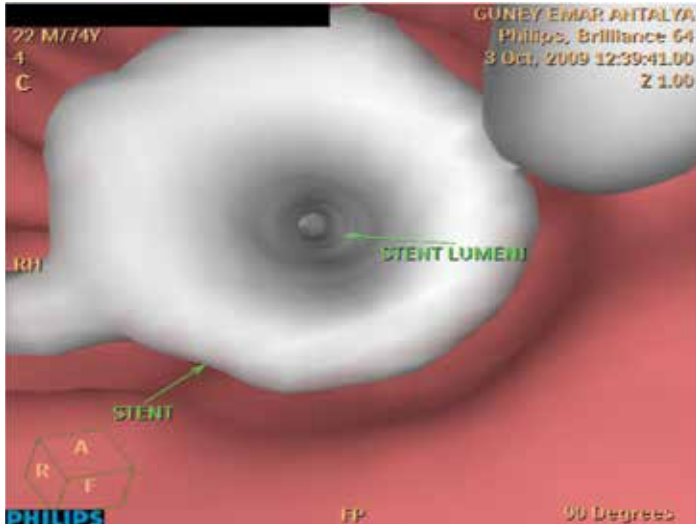
Aynı hastanın üç boyutlu VRT görüntülemesi.



Sağ vertebral arter foramen magnum düzeyinden, baziller artere kadar olan segmentte oklüzyon.



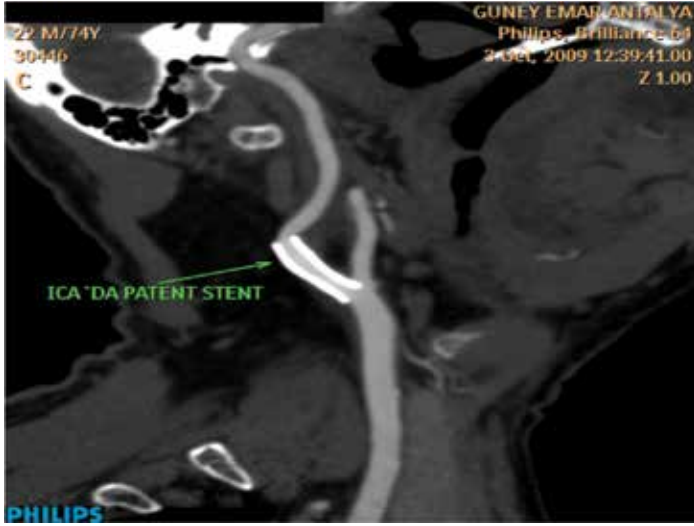
Oklüde sağ İCA, sol İCA proksimalinde patent stent.



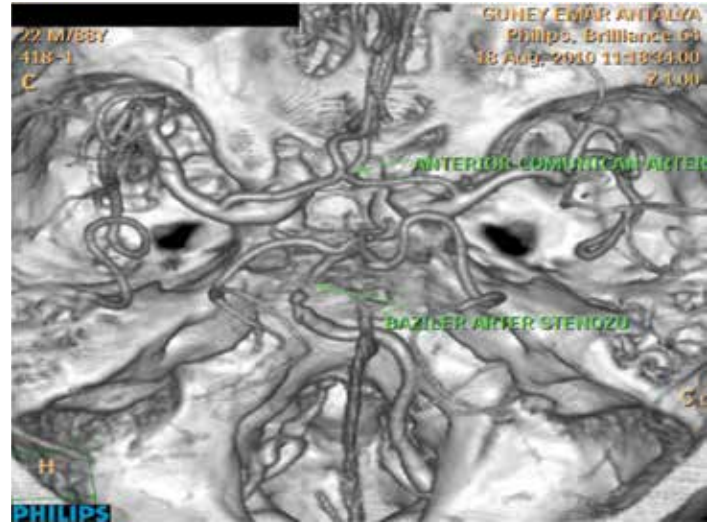
Fly through yöntemi ile stent lümeninin açık olduğunun gösterilmesi.



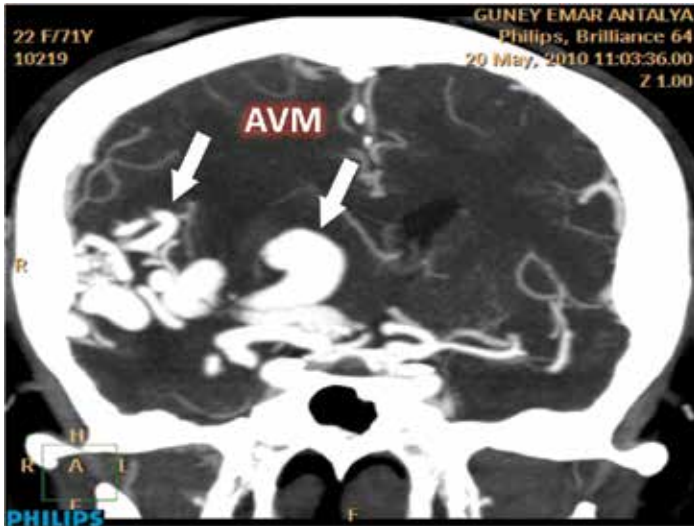
Sağ İCA'da tüm trasesi boyunca oklüzyon.



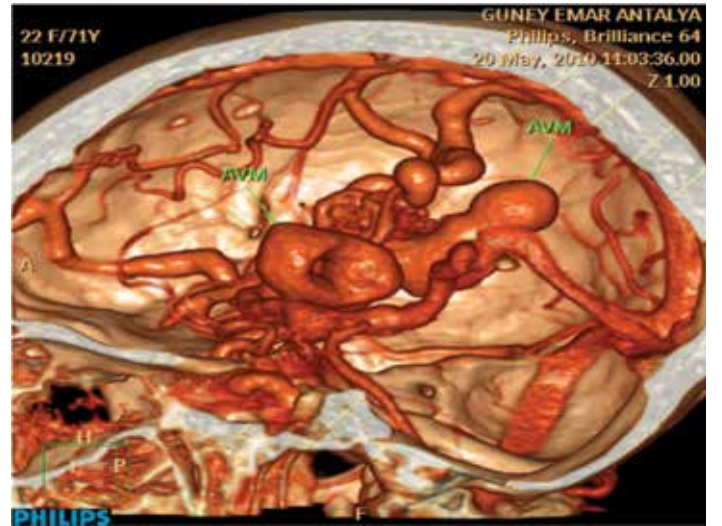
İCA'da lümeni patent stent.



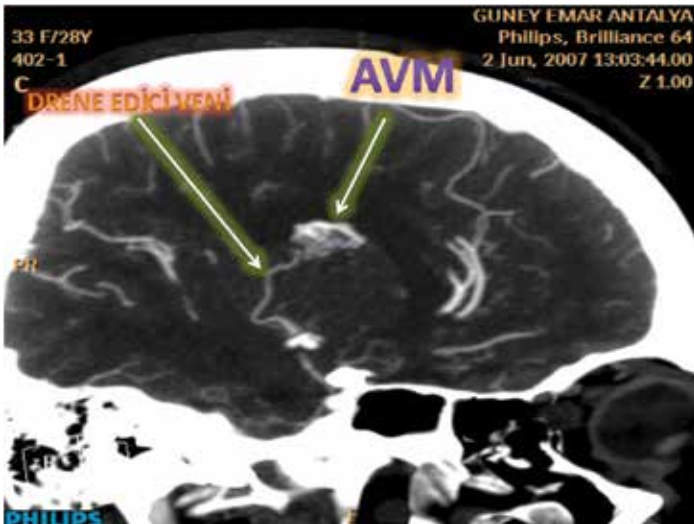
Baziller arter stenozu.



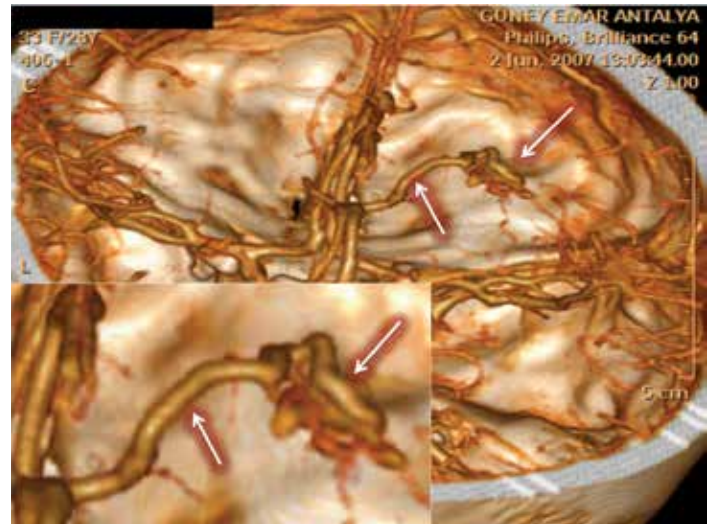
Dev intrakranial arteriovenöz malformasyon.



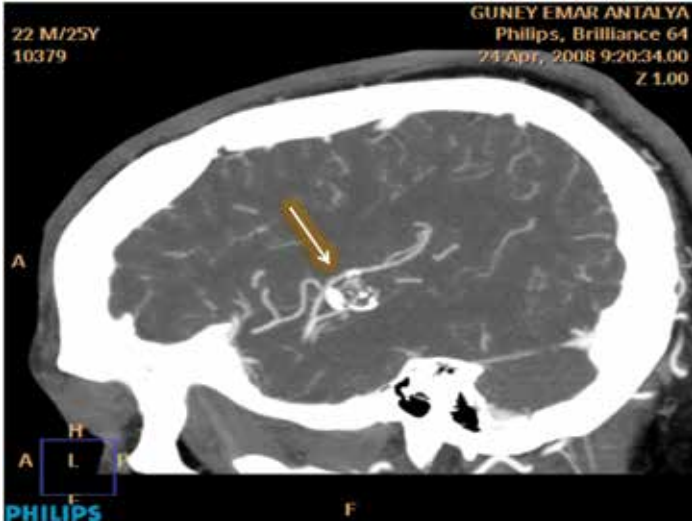
Aynı hastanın VRT görüntüsü.



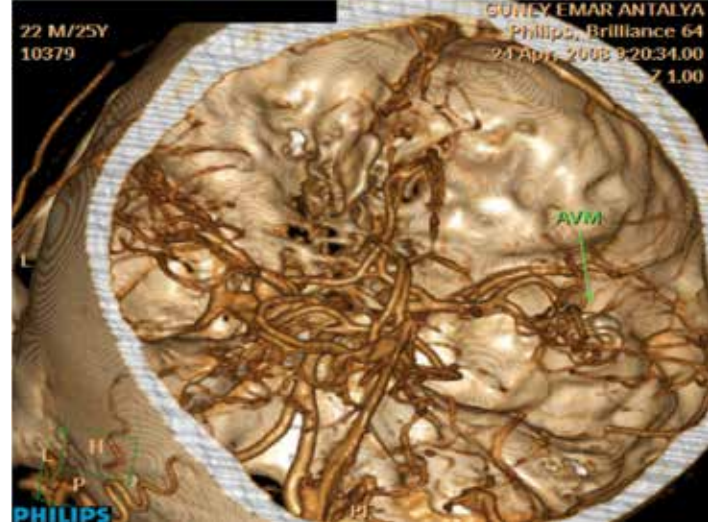
Arteriovenöz malformasyon ve drene edici ven, MİP görüntüleme.



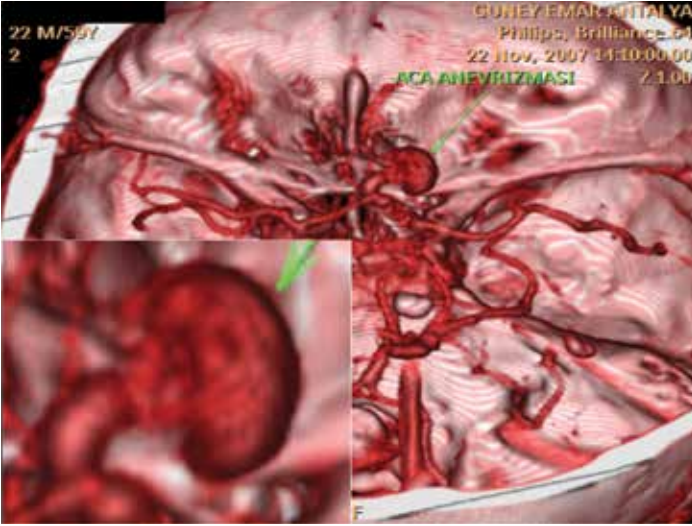
Aynı hastanın VRT görüntülemesi.



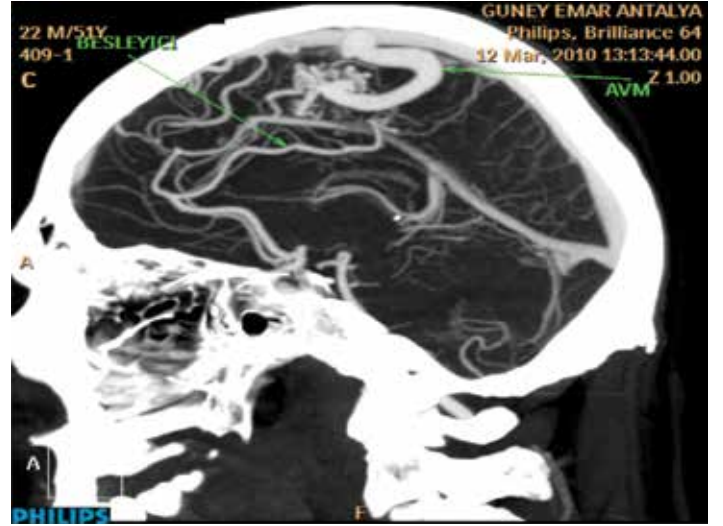
Sağ temporal AVM.



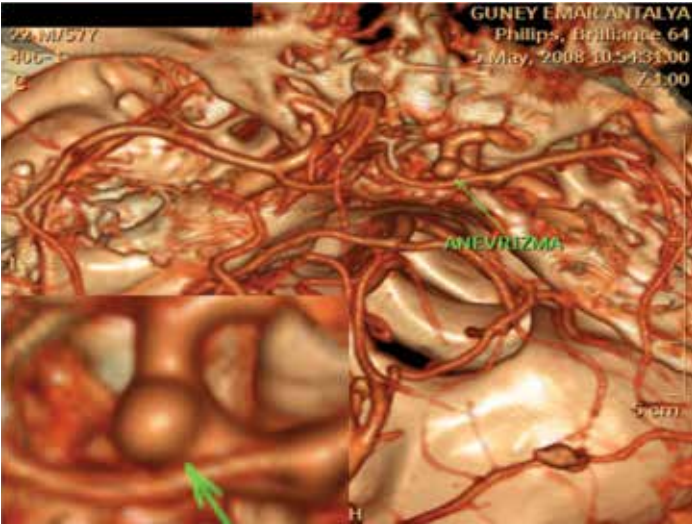
Aynı hastanın VRT görüntülemesi.



Anterior kommunikan arter ve dev sakkuler anevrizma.



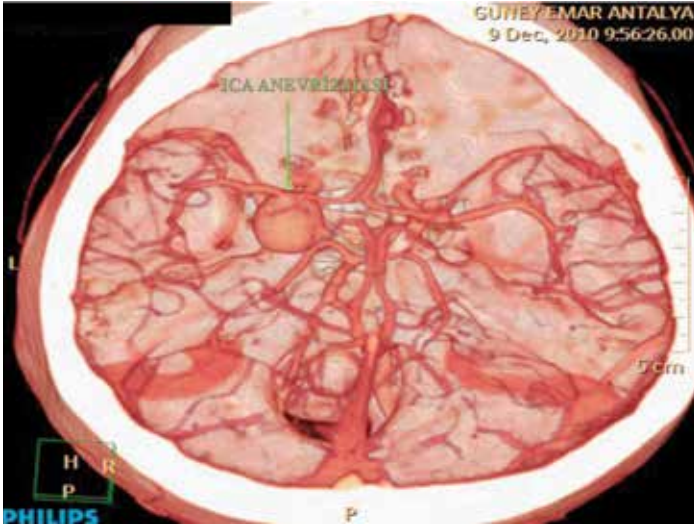
Intrakranial arteriovenöz malformasyon ve arteriovenöz fizstül.



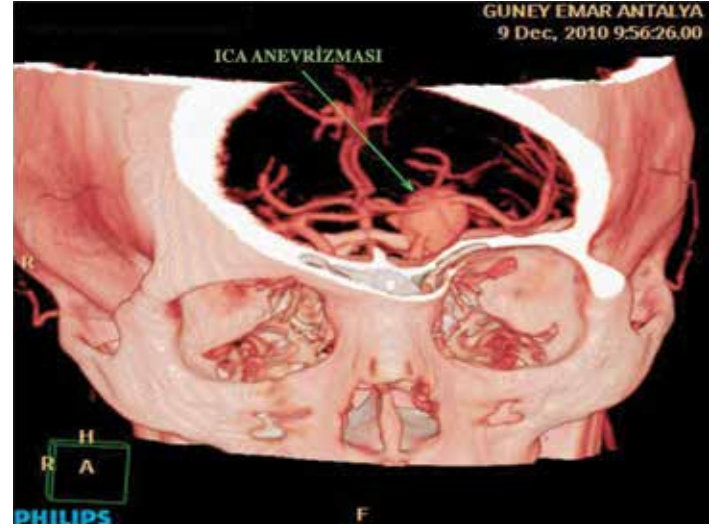
Sağ İCA proksimalinde sakkuler anevrizma.



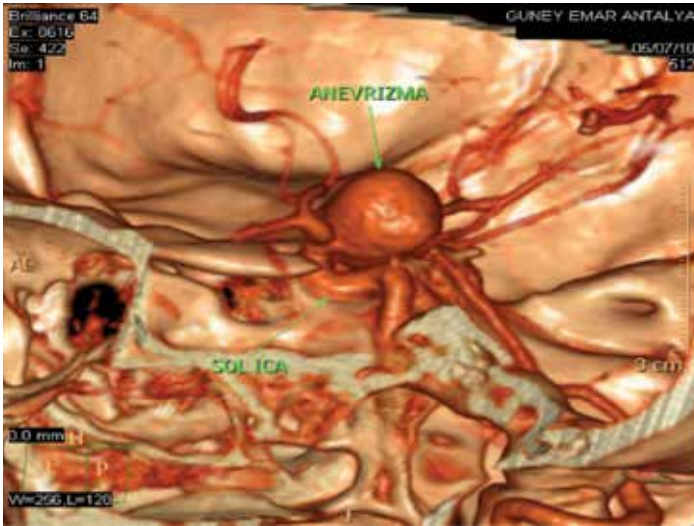
Arteriovenöz malformasyon, üç boyutlu görüntüleme.



Solda oftalmik arter, anterior serebral arter ve orta serebral arter osteal düzeylerini atake eden dev İCA supraklinoid segment anevrizması.



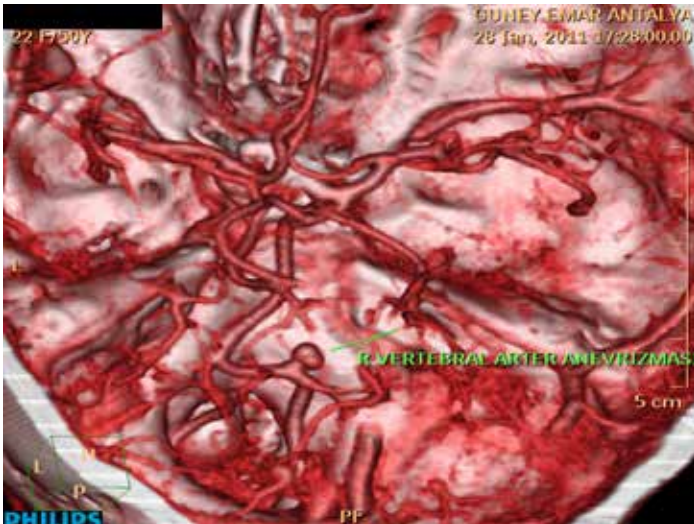
Aynı hastanın üç boyutlu görüntülemesi.



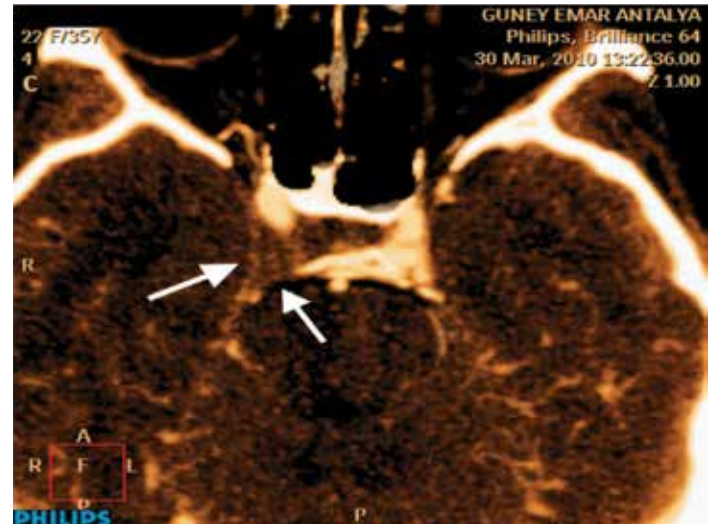
Suprasellar sisterne ekstansiyon gösteren dev İCA anevrizması.



Baziller arterde tepe yerleşimli sakküler anevrizma.



Sağ vertebral arterde sakküler anevrizma.



Sağ kavernöz sinüs içerisinde trombusa ait defektif görünüm (kavernöz sinüs trombozu).

GÜNEY EMAR

TIBBİ GÖRÜNTÜLEME MERKEZİ

100. Yıl Bulvarı No: 67/1-2 ANTALYA

Tel.: 0.242. 243 68 67

0.242. 243 73 26

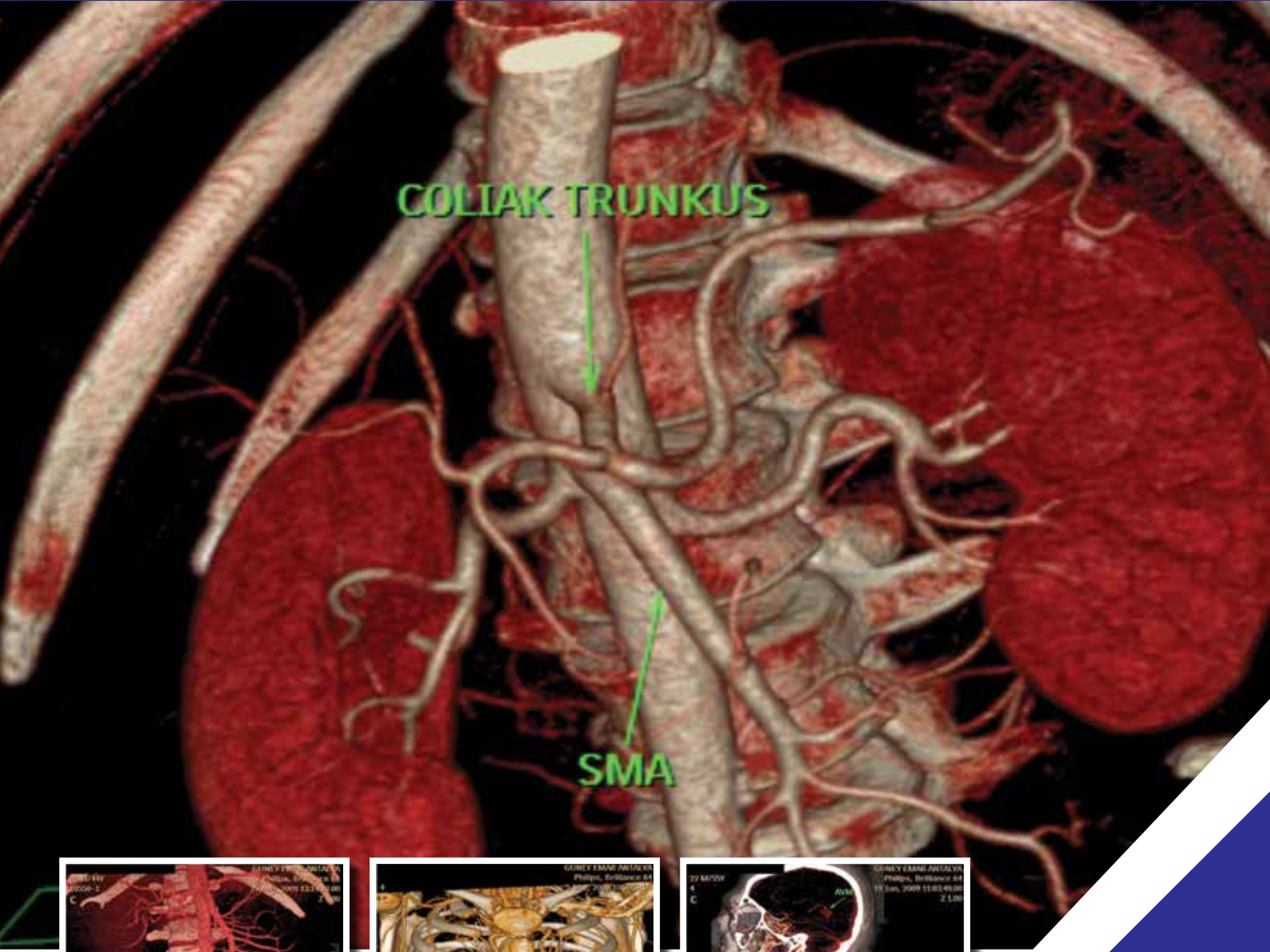
0.242. 248 97 07

0.242. 248 97 08

Fax : 0.242. 243 35 59

www.guneyemar.com

guneyemar@guneyemar.com



1.5 T MAGNETİK REZONANS
64 KESİT BİLGİSAYARLI TOMOGRAFİ
RENKLİ DOPPLER ULTRASONOGRAFİ
DİJİTAL MAMOGRAFİ
KEMİK DANSİTOMETRİ